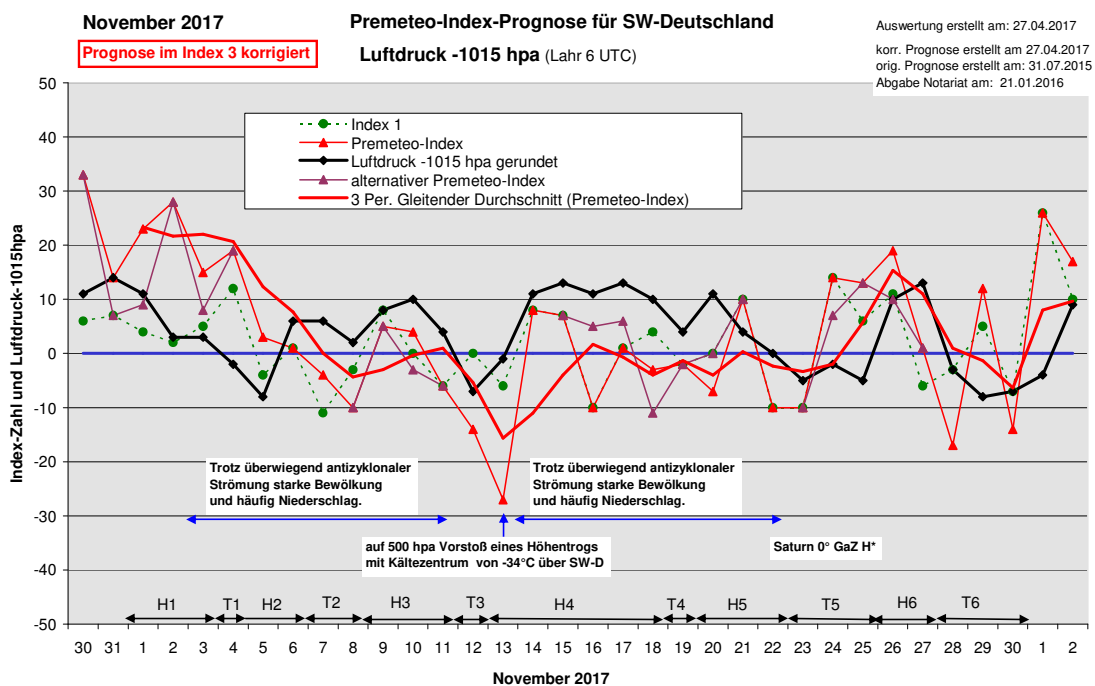
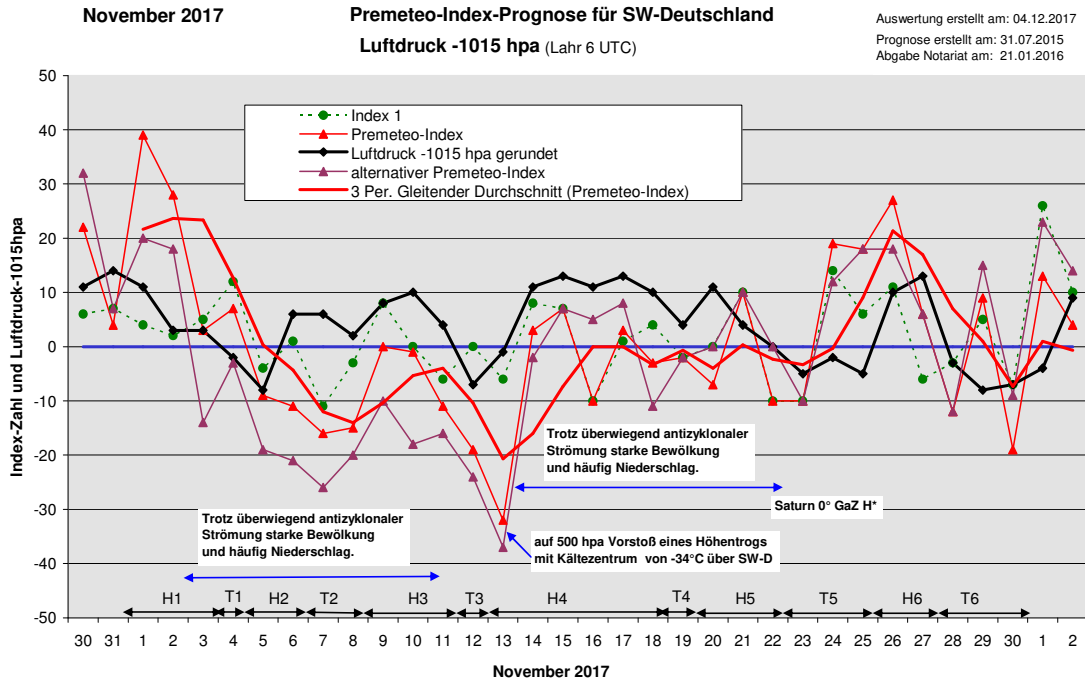


Wetterlagenverlauf November 2017 im Vergleich zur Premeteo-Indexprognose für Südwest-Deutschland

(Im Diagramm sind über der Datumsachse die real eingetreten Hoch- und Tiefdruckphasen durch Doppelpfeile eingetragen. Ausschlaggebend für die Evaluation ist der tägliche Premeteo-Index, in der dünneren, roten Linie mit Dreieckspunkten dargestellt. Ein negativer Premeteo-Index zeigt die Wahrscheinlichkeit für eine zyklonale Tiefdruckströmung, ein positiver Premeteo-Index die Wahrscheinlichkeit für eine antizyklonale Hochdruckströmung an.

Die Wetterlagenbeschreibungen wurden anhand der Berliner Wetterkarten erstellt. Ausschlaggebend ist die Europa-Bodenkarte um 0 UTC, die feiner skalierte 12 UTC-Karte von Mitteleuropa wird nur bei einem Wetterlagenwechsel für die Einordnung des Tages hinzugezogen. Am Ende des Dokuments befinden sich die Tabellen und Konstellationen, die dem Diagramm zugrunde liegen.)



Seit Beginn dieses Jahres wird zur Originalprognose auch noch eine im Index 3 korrigierte Prognose erstellt. Die Korrektur besteht darin, dass nur die aktivierten, fast-exakten Aspekte der beiden Konjunktionsplaneten in den Index einberechnet werden, wenn ihr Partner aufgrund seines umfassenderen Umlaufs um die Sonne einen höheren Rang hat als sie selbst.

Zusammenfassung: Der Wetterlagen- und Luftdruckverlauf des November 2017 zeigte in der Darstellung der beiden Diagramme der Originalprognose und der im Index 3 korrigierten Prognose einen erkennbar ähnlichen Schwingungsrhythmus. Diese Tatsache weist auch für die 103. Monatsauswertung der Premeteo-Index-Prognose seit Mai 2009 darauf hin, dass der Lauf der Erde in der Raumzeitgeometrie des Kosmos sich lokal bzw. regional in dem Schwingungsverlauf der Atmosphäre widerspiegelt. Diese Widerspiegelung vollzieht sich durch die auf- und absteigenden Luftmassen der Tief- und Hochdruckgebiete (zyklonale und antizyklonale Strömungen) in Gegenrichtung oder Richtung der Erdgravitation, die gemäß der Relativitätstheorie als ein rein raumzeit-geometrisches Feld angesehen werden kann. Die Raumzeitparameter des Premeteo-Prognosesystems sind auf 21 Hauptkörper des Sonnensystems, zwei galaktische Zentren und die geometrischen Punkte der Mondknoten und des Mondapogäums beschränkt. Dennoch wird es schon mit einer solch relativ einfachen Systematik möglich, die Existenz der Raumzeitgeodäten durch das Bewegungsverhalten der Atmosphäre sichtbar zu machen, deren frei bewegliche Gasmoleküle gemäß der Relativitätstheorie diesen kosmischen Raumstrukturen folgen müssen.

In den Auswertungsstatistiken dieses Monats gab es einige interessante Besonderheiten, die zum Teil widersprüchlich erschienen, zum Teil die Widersprüchlichkeiten auch wieder aufhoben: Der Monat hatte überdurchschnittlich viele T-Aspekte (44, der monatliche Durchschnitt liegt bei 32) und nur eine durchschnittliche Anzahl an H-Aspekten (41, der monatliche Durchschnitt liegt bei 44), dennoch überwog der Anteil der Hochdrucktage. Andererseits kam es an elf der 19 antizyklonalen Tage zu Niederschlag, so dass der Monat überdurchschnittlich bewölkt und nass ausfiel.

Trotz des ähnlichen Schwingungsverlauf von korrigierter und unkorrigierter Prognose, brachte die im Index 3 korrigierte Prognose bessere Ergebnisse in der Auswertungsstatistik. Sie hatte drei Fehlprognosetage weniger, was die richtige Zuordnung zur Wetterlage betraf. Außerdem erreichte der mittlere Premeteo-Index pro Tag in den Tiefdruckwetterlagen tatsächlich einen negativen Wert, wie es dem optimalen Fall der Theorie entspricht. Bei der unkorrigierten Prognose blieb der mittlere Premeteo-index pro Tag positiv, war aber deutlich geringer als bei den Hochdruckwetterlagen. Bei der korrigierten Prognose war der mittlere Premeteo-Index pro Tag in den Hochdruckwetterlagen doppelt so hoch wie bei der unkorrigierten Prognose, was die Berechtigung der Korrektur für zukünftige Prognosen wieder bestätigte.

Interessant war nun, dass bei der Auswertung der Symbolprognosen der unkorrigierte Premeteo-Index bessere Ergebnisse zeigte. Es gab 13 / korr. 9 richtige Tage, 11 / korr. 14 tendenziell richtige Tage und 6 / korr. 7 falsche Tage.

Dies hing mit der Tatsache zusammen, dass es in der Bodenatmosphäre zwar 19 antizyklonale Tage gab, während die Region auf 500hpa nur an 5 Tagen unter einer eindeutig antizyklonalen Strömung lag. Der unkorrigierte Premeteo-Index verlief in der ersten Novemberdekade deutlich tiefer im negativen Bereich als der korrigierte Premeteo-Index. Die im Index 3 heraus korrigierten Aspekte waren offensichtlich auf 500 hPa anwesend, sie setzten sich nur nicht bis in die Bodenatmosphäre durch.

Beschreibung der einzelnen Wetterphasen:

Hochdruckphase 1: Am 1. November setzte sich die Hochdruckphase des Oktobers durch Hoch Vera mit Kernen über Frankreich und dem Balkan fort. Es verlagerte sich in den Südmittelmeerraum und über Süddeutschland zeigte sich am 2. ein neuer Hochdruckkern, der sich zum 3. nach Südostfrankreich bewegte und den Namen Wiete erhielt. Der Premeteo-Index summierte über die 3-tägige Hochdruckphase auf +79 / korr. +66.

Tiefdruckphase 1: Am 4. zyklonalisierte ein Tief über Nordwestfrankreich die Strömung (Premeteo-Index +7 / korr. +19) und in der Nacht zum 5. dehnte sich Tief Jürgen mit Kernen über dem Nordmeer und Südschweden bis über unsere Region aus. Allerdings stieg der Luftdruck mit kräftigen Niederschlägen so stark an, dass sich um 12 UTC bereits das Azorenhoch durchgesetzt hatte, und der 5. der folgenden Hochdruckphase 2 zugeordnet

werden musste und dem korrigierten Premeteo-Index entsprach. (Der Fehlprognosestag des 4. November könnte damit zusammenhängen, dass am Vortag um 19:24 UTC Sonne 120° Neptun exakt wurde. Ein Aspekt, der in der Tabelle mit einem W für Wärme gekennzeichnet ist, und tatsächlich trat eine starke Zufuhr warmer Luftmassen ein. Es war der Tag mit der höchsten Tagesmitteltemperatur nicht nur innerhalb der ersten Monatsdekade, sondern auch des ganzen Monats. Möglicherweise stand dieser Sonne-Neptun-Aspekt auch in einer strukturell intensivierenden Verbindung mit Neptun 72° Quaoar T?*, der im unkorrigierten Index 3 nur im alternativen Index angerechnet und im korrigierten Index 3 gar nicht angerechnet wurde.)

Hochdruckphase 2: Die Region lag am 5. und 6. im Isobarenbereich des Azorenhochs. Der Premeteo-Index summierte über die 2-tägige nasse und trübe Hochdruckphase auf -20 / korr. +4.

Tiefdruckphase 2: Am 7. übernahm Tief Karl mit Kern über Korsika-Sardinien die Regie, am 8. lag ein flacher Tiefdruckkern über Süddeutschland. Der Premeteo-Index summierte über die 2-tägige Tiefdruckphase auf -31 / korr. -14.

Hochdruckphase 3: Deutschland lag am 9. um 0 UTC in einer flachen antizyklonalen Zone zwischen dem Azorenhoch und Hoch Xandy mit Kern über Südwestrussland. Es verstärkte sich zum 10. und zog seinen Isobarenbereich am 11. nur langsam zurück, obwohl sich der zyklonale Witterungstypus an diesem Tag schon mit anhaltendem Regen und starkem Wind durchsetzte. Der Premeteo-Index summierte über die 3-tägige Hochdruckphase auf -12 / korr. +3.

Tiefdruckphase 3: Mit kräftigen Niederschlägen und stürmischem Wind überquerte Tief Numa am 12. Deutschland relativ rasch. Im Hochschwarzwald fiel Schnee. Der Premeteo-Index hatte einen Wert von -19 / korr. -14.

Hochdruckphase 4: Der Premeteo-Index erreichte erst am 13. November seinen tiefsten Wert, und auf 500 hpa verlagerte sich der Kern des Höhentrogs tatsächlich nach Deutschland. Sein Kältezentrum lag um 0 UTC direkt über Südwestdeutschland. Dies war ein auffallender und rascher Vorstoß sehr kalter Höhenluft nach Süden gegenüber dem Vortag. In der Bodenatmosphäre dehnte sich im Laufe des Tages mit der eingeflossenen Kaltluft Hoch Yaprak mit Kern über dem Ostatlantik bis über ganz Deutschland aus. Es bestimmte auch noch vom 14. bis zum 16. zum Teil mit Sonnenschein, zum Teil mit dichtem Nebel die Wetterlage. Der kalte Kern des Höhentiefs verlagerte sich über das Tyrrhenische Meer nach Süditalien, wobei es eine geschlossene T-Zelle bildete, sich allmählich jedoch erwärmte und abschwächte. Das dazugehörige Bodentief Numa brachte dem Mittelmeerraum ungewöhnlich starke Niederschläge und Überschwemmungen in Griechenland. Der 16. hatte als einzelner Tag einen negativen Premeteo-Index von -10. Da vom 15. bis 17. jeden Tag ein Hf-Aspekt auftrat und auch der alternative Premeteo-Index im positiven Bereich verlief, war an diesem Tag nur eine schwache Luftdruckabsenkung zu erkennen und der Wechsel der südwestdeutschen Region in den Isobarenbereich zu Hoch Zoe über Irland am 17. November. Hoch Zoe bestimmte auch am 18. noch die Wetterlage. Aber es kam seit dem 13. fast täglich zu Niederschlägen und das Wetter stimmte mit dem wechselhaften Charakter, den der Premeteo-Index anzeigte, überein. Der Premeteo-Index summierte über die 6-tägige Hochdruckwetterlage auf -32 / korr. -24.

Tiefdruckphase 4: Am 19. wurde Hoch Zoe von Tief Peter IV mit Kern über Südsandinavien, in das noch zusätzlich eine kleine Störung über Nordostfrankreich eingebettet war, zurückgedrängt. Der Premeteo-Index hatte einen Wert von -2.

Hochdruckphase 5: Bei negativem Premeteo-Index am 20. übernahm Hoch Zoe erneut die Regie. Sein Kern verlagerte sich zum 21. von Frankreich nach Südwestdeutschland. An diesem Tag hatte der Premeteo-Index einen Wert von +10. Bei fallendem Luftdruck und Premeteo-Index -10 verblieb die Region jedoch im Bereich von Hoch Zoe, dessen Kern am 22. über den Ostalpen lag. Auf 500 hPa hatte sich eine starke antizyklonale Strömung über dem Mittelmeerraum ausgebildet, die einen Vorstoß von Tief Reinhard mit Kern bei Schottland in den südwestdeutschen Raum verhinderte. Der Premeteo-Index summierte über die 3-tägige Hochdruckphase auf -7.

Tiefdruckphase 5: Erst am 23. konnte sich Tief Reinhard über ganz Deutschland ausdehnen. Es wurde am 24. noch verstärkt durch Tief Sebastian mit Kern über Südwestfrankreich, das auch am 25. noch das Wetter über unserer Region bestimmte, als sich der Premeteo-Index bereits wieder im positiven Bereich befand. Die Sonne hatte am 23.

und 24. eine Abfolge der Aspekte: Sonne 144° Uranus T, Sonne 120° Varuna A, Sonne 30° Apogäum T, Sonne 60° GSZ H und Sonne 45° Pluto T. Möglicherweise hatte der ranghöchste dieser Aspekte mit dem Galaktischen Zentrum den geringsten Lokalbezug. Der Premeteo-Index summierte über die 3-tägige Tiefdruckphase auf +27 / korr. +17.

Hochdruckphase 6: Am 26. und 27. bestimmte Hoch Anke über dem Ostatlantik die Wetterlage. Der Premeteo-Index summierte auf +33 / korr. +20.

Tiefdruckphase 6: In Übereinstimmung mit dem Premeteo-Index setzte sich am 28. mit kräftigem Wind Tief Torsten über der Nordsee durch, auch am 29. blieb es mit Kern über Südschweden noch wetterbestimmend. Der Premeteo-Index hatte einen positiven, am 30. aber wieder einen negativen Wert. Am 30. bildete Tief Torsten noch einen Kern über Dänemark aus. Der Premeteo-Index summierte über die 3-tägige Tiefdruckphase auf -22 / korr. -19.

SW-D befand sich an 19 Tagen im Einflussbereich antizyklonaler Strömung. Die Summe des prognostizierten Premeteo-Index für diese Tage ergab +32 / korr. +62. Dies entsprach einer Indexzahl von +1,68 / korr. +3,26 pro Tag.

An 11 Tagen befand sich SW-D im Einflussbereich zyklonaler Strömung. Die Summe des prognostizierten Premeteo-Index für diese Tage ergab +8 / korr. -13. Dies entsprach einer Indexzahl von +0,73 / korr. -1,18 pro Tag.

Die Prognose durch die Premeteo-Wettersymbole war an 6 / korr. 7 Tagen falsch (am 2., nur korr. 4., 21., 22., 24. bis 26.), an 13 / korr. 9 Tagen richtig und an 11 / korr. 14 Tagen tendenziell richtig.

Tabellen



06.12.2017

November 2017



Prognose für SW-Deutschland

01.11.2017

Bei den im Index 3 in roter Schrift gekennzeichneten Aspekten haben Partnerplaneten einen geringeren Rang als die Konjunktionsplaneten.

Das Mondpogäum ist vom 24.10.2017 bis 14.11.2015 mit Quaoar in Konjunktion und löst Neptun 72° Quaoar T?*(0/3) aus. Der November beginnt also mit der zweiten Auslösuingswoche dieses Aspekts und er wird wegen eines möglichen Gewöhnungseffekts der Atmosphäre ab diesem Monat nur im alternativen Premeteo-Index angerechnet.
Am 3./4. dichteste Positionierung von Venus, Vesta, Haumea. Ab dem 15. tritt Saturn in den Konjunktionsbereich mit dem Galaktischen Zentrum (GaZ) unserer Milchstraße ein. Vom 27. bis 29. bildet Merkur mit Saturn und dem Galaktischen Zentrum einer Dreierkonjunktion.

| | | | | | | | | | | |
|--|---|--|--|---|--|--|--|---|---|---|
| Langsamläufer-Impulse | H* | 2H* | | | | T* | | H* | | T* |
| Schnellläufer-Impulse | H | 2T | 2H, T | Hf, H, T | T, H | H, T | 3T, H | 2T, H | H, T | |
| Temperaturimpulse | | | W | K | | | K? | W, K | | K |
| Premeteo-Index - zyklonal, + antizyklonal (Index 1+2+3) | 39 | 28 | 3 | 7 | -9 | -11 | -16 | -15 | 0 | -1 |
| Pre.IX (ALTERNATIV) | 20 | 18 | -14 | -3 | -19 | -21 | -26 | -20 | -10 | -18 |
| Index 1 (12 - 12 UTC) exakte Aspekte des Tages | 4 | 2 | 5 | 12 | -4 | 1 | -11 | -3 | 8 | 0 |
| Index 1 (ALTERNATIV) | | | | | | | | | | |
| Symmetrien (0 - 0 UTC) | Mak 2 Mer GSZ (10) A ? Auslösung! Hau 179 Ura Eri (14) H? (5/1,5) ? Plu 68 Son Chi (17) T | Mer 30 Sat Hau (04) A H (12,5/4) +14 Eri 180 Ven Ves (06) A H? Index 1 GaZ 2 Sat Qua (18) H* (7,5/0,5) ? +7/0 | Son 15op Ura Sed (10) A? (3/3) --- Hau 1 Ven Ves (22) A A? Auslösung! Ven 149 Chi Sed (23) A H ? --- | Pal 8op Son Ven (01) H H +?? Sed 149 Ven Gaz (03) H 2 T +? Son 16 Ven Mer (17) T K --- Pal 9op Son Ven (17) H A? +?? GSZ 22 Orc Hau (18) T --- Pal 9op Son Ves (23) H T? -?? | Ura 1op Ven Hau (03) A H? (5/1,5) 0 Index 1 Ves 179 Ura Eri (10) A H +? Jup 8 Son Ven (19) A W H W +?? Mer 15op Chi Eri (21) ? --- | Ven 5op Pal Eri (00) H A +?? Chi 15op Mar Orc (16) H --- Ven 4op Ura Pal (22) A H +?? | Pal 3op Ven Jup (03) H A +? Ves 149 Chi Sed (10) A A? ? --- Pal 150 GSZ Mer (18) H T T ? Sed 149 Ven Gaz (19) A? ? A? ? Ven 6 Jup Hau (20) H W A +?? GSZ 61 Var Mer (21) ? T T -? Mer 15op Ura Chi (23) H (8/3) --- | Var 89 Ven Pal (01) H T H ? Ven 5 Jup Ves (09) H W H +?? | Ura 1op Ven Hau (14) A H? (5/1,5) +7/0 | Pal 5op Jup Ves (04) A T -?? Ven 4op Pal Eri (22) T H ? |
| Index 2 (12 - 12 UTC) | 14 | 21 | 7 | 7 | 7 | 0 | 7 | -7 | 0 | 7 |
| Index 2 ALTERNATIV | 0 | | 0 | | | | | | 0 | 0 |
| ausgelöste Aspekte (= durch Konjunktions aktivierte Aspekte) | Ves 180 Eri H5 Nep 72 Qua T?*(0/3) 0/-10 aus Index 2: Jup 30 Mak H+6 Mak 45 Kn1 H* +11 | Ves 180 Eri H5 Nep 72 Qua T?*(0/3) 0/-10 | Sat 60 Hau H7 Orc 45 Hau T-11 Nep 72 Qua T?*(0/3) 0/-10 Chi 150 Hau T*(5/10,5) 8 aus Index 2: Ven 60 Sat T-2 Ves 180 Eri H+5 | Sat 60 Hau H7 Orc 45 Hau T-11 Nep 72 Qua T?*(0/3) 0/-10 Chi 150 Hau T*(5/10,5) 8 | Sat 60 Hau H7 Orc 45 Hau T-11 Nep 72 Qua T?*(0/3) 0/-10 Chi 150 Hau T*(5/10,5) 8 | Sat 60 Hau H7 Orc 45 Hau T-11 Nep 72 Qua T?*(0/3) 0/-10 Chi 150 Hau T*(5/10,5) 8 | Sat 60 Hau H7 Orc 45 Hau T-11 Nep 72 Qua T?*(0/3) 0/-10 Chi 150 Hau T*(5/10,5) 8 | Cer 135 Qua T-5 Nep 72 Qua T?*(0/3) 0/-10 | Son 60 Plu T-3 Cer 135 Qua T-5 Nep 72 Qua T?*(0/3) 0/-10 | Son 60 Plu T-3 Cer 135 Qua T-5 Nep 72 Qua T?*(0/3) 0/-10 |
| Index 3 (Summe) | 21 | 5 | -9 | -12 | -12 | -12 | -12 | -5 | -8 | -8 |
| Index 3 ALTERNATIV | 16 | -5 | -19 | -22 | -22 | -22 | -22 | -10 | -18 | -18 |
| Symbol-Prognose | 2 | 2 | 3 | 3 | 3 | 5 | 5 | 5 | 3 | 3 |
| Symbol-Prognose altern. | 2 | 2 | 5 | 3 | 5 | 5 | 5 | 5 | 5 | 5 |
| Wochentag | Mi | Do | Fr | Sa | So | Mo | Di | Mi | Do | Fr |
| Datum | 1 | 2 | 3 | 4 | 5 | 6 | 7 | 8 | 9 | 10 |
| reale Wetterlage | H1: 3H*, 3H / +70 | | | T1:T-Hf, H / +7 | H2: 2H - T*, 2T / -20 | | T2: 5T - H*, 2H / -31 | | H3: H - T*, 4T / -12 | |
| Luftdruck (hpa) 06 UTC | 1026,2 | 1018 | 1017,9 | 1012,8 | 1007 | 1021 | 1021 | 1017 | 1023,4 | 1025,1 |
| mittl. Temp.(°C) | 6,7 | 10,6 | 10,3 | 12 | 9,5 | 5,6 | 5,4 | 6,6 | 6,5 | 6,7 |
| Sonnenscheindauer (h) | 8 | 0,8 | 4,9 | 4,3 | 0 | 0,9 | 0 | 0 | 0 | 0 |
| Niederschlag (Liter) | 0 | 0 | 0 | 3,9 | 16,2 / 29 | 0 | 3,6 | 2,6 / 10,5 | 0,1 | 3,4 / 6 |
| Bodenwetterlage 00 UTC (Kernlage des Druckgebiets, das SW-D beeinflusst) | H mit Kernen ü F u Balk | H ü S-D | H ü SO-F | T ü NW-F, H ü Balk | T ü Nm u S-Skand | Azor-H, T ü N-Italien | T ü Korsi, H ü Benel | fl T ü S-D | fl H-Zone zw. Azor-H u H ü SW-R | Azor-H, T ü Nm |
| Bodenströmung 12 UTC zyklonal (z), antizyklonal (a) | a | a-z | a-z | a-z | a | a-z | z | a-z | a | a |
| Strömung auf 500 hpa 00 UTC | NW a | W a-z | NW a-z | SW a | SW a-z | z | O z | O z | W z | NO fl a |
| zutreffende Wettersymbole | 2 r | 3-5 f | 3 r | 3-5 hr | 5 hr | 5 r | 5 r | 5 r | 5 hr | 5 hr |

Übertrag
Index 1: 0
Index 2: +14 / 0

| | | | | | | | | | | | | | | | | | | | |
|--|-------|---|-------|---|-------|---|-------|---|-------|---|-------|--|-------|--|-------|---|-------|--|-------|
| MER 150 ERI SKO 23°09'25" WID 23°09'25" A | 04:03 | VEN 180 ERI WAA 23°08'56" WID 23°08'56" A | 00:13 | QUA 0 APO SCH 29°12'11" A | 00:07 | VEN 180 URA WAA 25°54'04" WID 25°54'05" A | 05:03 | VEN 60 GaZ WAA 26°59'07" SCH 26°59'07" T-2 | 01:51 | NEP 72 APO FIS 11°32'36" SCH 29°32'36" A | 01:25 | MER 144 URA SCH 01°47'35" WID 25°47'34" T-2 | 01:01 | VEN 144 CHI FIS 24°39'27" A W | 00:28 | VES 150 SED WAA 26°19'41" STI 26°19'41" A K | 00:12 | MAR 150 NEP WAA 11°30'40" FIS 11°30'40" A K | |
| JUP 180 PAL SKO 04°42'10" STI 04°42'09" A | 04:23 | CER 135 GaZ LÖW 11°59'08" SCH 26°59'08" H +1 | 00:39 | MER 150 URA SKO 25°56'47" WID 25°56'48" H +1 | 01:03 | SON 45 GaZ SKO 11°59'07" SCH 26°59'07" Hf +9 | 05:28 | MER 144 ERI SKO 29°07'06" WID 23°07'06" H +1 | 04:49 | MER 45 JUN SCH 00°25'38" STE 15°25'38" H +1 | 02:23 | VEN 60 APO WAA 29°40'24" SCH 29°40'24" A K? | 05:24 | SON 60 JUN SKO 16°08'45" STI 02°06'45" H +4 | 09:03 | VEN 180 PAL SKO 02°06'46" WAA 26°59'07" A | 04:09 | VES 60 GaZ WAA 26°59'07" A | 07:12 |
| VEN 0 VES WAA 22°26'23" WAA 22°26'23" H +4 | 10:36 | SON 135 CHI SKO 09°48'53" FIS 24°48'53" T-3 | 01:26 | VEN 0 EL6 WAA 24°36'57" WAA 24°36'58" H +2 | 04:23 | VEN 150 SED WAA 26°22'22" STI 26°22'22" H +2 | 14:06 | MER 30 QUA SKO 29°14'49" SCH 29°14'50" A | 06:56 | VES 45 ORC WAA 24°57'56" JUN 09°57'56" A | 08:45 | MER 45 PLU SCH 02°14'26" STE 17°14'25" A | 08:28 | PAL 150 GSZ WAA 02°18'04" WAA 02°18'04" H* +5 | 13:56 | VEN 30 GSZ SKO 02°18'06" STI 02°18'06" A | 07:46 | MER 30 JUP SKO 06°43'47" SKO 06°43'45" A | 12:09 |
| JUN 144 KN1 STE 14°05'28" LÖW 20°05'28" H* +5 | 17:46 | MER 30 EL6 SKO 24°35'30" WAA 24°35'29" A | 03:08 | JUP 72 PLU SKO 05°09'59" STE 17°09'60" A | 07:28 | VEN 135 NEP WAA 26°33'22" FIS 11°33'22" A | 17:37 | MER 30 APO SKO 29°28'30" SCH 29°16'17" A | 10:41 | SON 45 QUA SKO 14°16'17" SCH 29°16'17" A | 12:13 | MER 60 OSZ SCH 02°18'02" WAA 02°18'03" T-2 | 08:28 | VEN 90 VAR SKO 01°34'46" LÖW 01°34'45" H +2 | 15:56 | NEP 135 VES FIS 11°30'57" WAA 26°30'57" A | 09:15 | PAL 72 KN2 STI 01°36'48" WAS 19°36'49" A | 18:13 |
| SON 45 SAT SKO 09°41'56" SCH 24°41'55" A | 22:39 | SON 60 ORC SKO 09°54'44" JUN 09°54'43" A | 03:46 | VEN 150 CHI WAA 24°46'45" FIS 24°46'46" A | 07:31 | CER 72 EL6 LÖW 12°39'11" WAA 24°39'11" A | 18:03 | VES 0 EL6 WAA 24°40'40" WAA 24°40'40" T*(5/10,5)-8 | 19:18 | CHI 150 EL6 WAA 24°41'40" WAA 24°41'40" T*(5/10,5)-8 | 12:23 | MAR 30 ORC WAA 09°58'48" JUN 09°58'48" H +3 | 13:57 | MER 60 FY9 SCH 04°19'38" WAA 04°19'40" H +3 | 19:25 | SON 60 PLU SKO 17°16'57" STE 17°16'57" T-3 | 12:13 | SAT 144 VAR SCH 25°34'21" LÖW 01°34'21" A | 20:00 |
| MER 30 SAT SKO 24°43'29" SCH 24°43'29" A | 05:17 | MER 180 SED SKO 26°23'06" STI 26°23'07" A | 08:10 | SON 90 CER SKO 12°41'51" LÖW 12°41'52" T K-3 | 22:32 | CHI 150 VES FIS 24°42'39" WAA 24°42'40" A | 20:51 | CER 72 VES LÖW 13°05'30" WAA 25°05'30" A | 14:39 | MER 150 PAL SCH 02°36'41" STI 02°36'41" T-2 | 14:39 | VEN 72 KN1 SKO 01°42'52" LÖW 19°42'52" T K--- | 20:31 | SON 45 GSZ SKO 17°18'05" WAA 02°18'04" A | 16:58 | PAL 90 VAR STI 01°34'20" LÖW 01°34'20" T --- | 21:23 | VEN 60 QUA WAA 29°16'46" SCH 29°16'46" A | 21:23 |
| MER 120 CHI SKO 24°48'30" FIS 24°48'31" A | 06:38 | VEN 60 SAT WAA 24°49'59" SCH 24°49'58" T-4 | 08:33 | VEN 45 ORC WAA 24°55'43" JUN 09°55'43" A | 10:23 | SON 120 NEP SKO 11°33'55" FIS 11°33'55" A W | 21:55 | SAT 60 VES SCH 25°09'45" WAA 25°09'45" A | 17:58 | URA 180 VES WID 25°45'36" WAA 25°45'36" A | 20:53 | SON 45 APO SKO 14°38'01" SCH 29°38'01" A | 21:32 | MAR 135 SED WAA 11°19'16" STI 26°19'16" A | 16:58 | VEN 30 FY9 SKO 04°21'59" WAA 04°21'60" A | 23:19 | | |
| VES 180 ERI WAA 23°08'28" WID 23°08'28" H* +5 | 19:25 | MER 30 GaZ SKO 26°59'07" SCH 26°59'07" H +1 | 17:56 | MER 30 GaZ SKO 26°59'07" SCH 26°59'07" H +1 | 17:56 | | | | | | | | | | | | | | |
| VEN 72 CER WAA 24°11'16" LÖW 12°11'16" T-2 | 20:10 | SON 120 NEP SKO 11°33'55" FIS 11°33'55" A W | 19:24 | | | | | | | | | | | | | | | | |
| SAT 90 CHI SCH 24°47'26" FIS 24°47'26" A | 21:55 | | | | | | | | | | | | | | | | | | |

November 2017



Prognose für SW-Deutschland

Bei den im Index 3 in roter Schrift gekennzeichneten Aspekten haben Partnerplaneten einen geringeren Rang als die Konjunktionsplaneten.

Das Mondapogäum ist vom 24.10.2017 bis 14.11.2017 mit Quaoar in Konjunktion und löst Neptun 72° Quaoar T?(0/3) aus. Der November beginnt also mit der zweiten Auslösungswoche dieses Aspekts und er wird wegen eines möglichen Gewöhnungseffekts der Atmosphäre ab diesem Monat nur im alternativen Premeteo-Index angedreht.
 Am 3.4. dichteste Positionierung von Venus, Vesta, Haumea. Ab dem 15. tritt Saturn in den Konjunktionsbereich mit dem Galaktischen Zentrum (GaZ) unserer Milchstraße ein. Vom 27. bis 28. bildet Merkur mit Saturn und dem Galaktischen Zentrum einer Dreierkonjunktion.

| | | | | | | | | | | |
|--|---|---|--|---|---|---|---|----------------------------|--|--|
| Langsamläufer-Impulse | | T* | | H?*, H* | | T*, T?* | H* | | T* | H* |
| Schnellläufer-Impulse | 3T | 2T | 2H, T | | T, Hf | Hf, 2T | H, T, Hf | T | T | |
| Temperaturimpulse | K | | W, K | | | W | | | | K? |
| Premeteo-Index -zyklonal, + antizyklonal (Index 1+2+3) | -11 | -19 | -32 | 3 | 7 | -10 | 3 | -3 | -2 | -7 |
| Pre.IX (ALTERNATIV) | -16 | -24 | -37 | -2 | | 5 | 8 | -11 | | 0 |
| Index 1 (12 - 12 UTC) exakte Aspekte des Tages | -6 | 0 | -6 | 8 | 7 | -10 | 1 | 4 | -2 | 0 |
| Index 1(ALTERNATIV) | | | | | | 5 | 6 | -4 | | |
| Symmetrien (0 - 0 UTC) | Son 37 Mar Sat (03) T Pal 40p Ven Ves (13) H T* ? | Hau 45 Orc Mer (14) T T T -14 Ves 30p Ura Pal (20) A* T* -7 | Pal 60p Ven Hau (01) H A* +7? Mer 91 Nep Orc (10) H K T ? ? ? Mar 72 Sat Var (12) T A A* -7 Ura 134 Orc Mer (15) A*(6/6) T-7 | Mar 73 Var GaZ (09) A A ? -... | Mer 35 Jup Jun (02) H* 0 Jup 35 GSZ Mer (05) HI --- Plu 67 Ven Chi (18) T --- | Ven 150p Ura Sed (04) A?(3/3) ? Eri 70p Mar Ves (17) A H* +7? | Mer 134 Pal Var (02) A HI T ? ? Son 31 Sat Hau (19) T A H*(12,5/4) -7 | Mar 14 Ves GSZ (04) H* --- | Qua 72 Mar Nep (18) A T?(0/3) A W -7.0 Jup 7 Ven Ves (22) H W A* +7? | Hau 7 Mar Ves (05) H A* +7? Ves 14 Ven Mar (11) H --- Ura 31 Chi Sed (16) H*(8/3) ? A?(3/3) Ura 70p Mar Ves (18) T A* -7? Pal 40p Ves Hau (21) T* A* -7? |
| Index 2 (12 - 12 UTC) | 0 | -14 | -21 | 0 | 0 | 0 | 0 | -7 | 0 | -7 |
| Index 2 ALTERNATIV | | | | | | | | | | 0 |
| ausgelöste Aspekte (= durch Konjunktionen aktivierte Aspekte) | Cer 135 Qua T-5 Nep 72 Qua T?(0/3) 0:10 | Cer 135 Qua T-5 Nep 72 Qua T?(0/3) 0:10 | Cer 135 Qua T-5 Nep 72 Qua T?(0/3) 0:10 | Cer 135 Qua T-5 Nep 72 Qua T?(0/3) 0:10 | Sed 150 GaZ ?* | Sed 150 GaZ ?* | Ven 45 GaZ H2 Sed 150 GaZ ?* | Sed 150 GaZ ?* | Sed 150 GaZ ?* | Sed 150 GaZ ?* |
| Index 3 (Summe) | -5 | -5 | -5 | -5 | 0 | 0 | 2 | 0 | 0 | 0 |
| Index 3 ALTERNATIV | -10 | -10 | -10 | -10 | | | | | | |
| Symbol-Prognose | 5 | 5 | 5 | 3 | 3 | 5 | 3 | 3 | 3 | 3 |
| Wochentag | Sa | So | Mo | Di | Mi | Do | Fr | Sa | So | Mo |
| Datum | 11 | 12 | 13 | 14 | 15 | 16 | 17 | 18 | 19 | 20 |
| reale Wetterlage | | T3: T*, 2T / -19 | H4: 3H*, 3Hf, 3H - 2T*, 6T / -32 | | | | | | T4: T*, T / -2 | H5: --- |
| Luftdruck (hpa) 06 UTC | 1019 | 1008 | 1013,9 | 1026,3 | 1028,2 | 1025,7 | 1027,7 | 1025,4 | 1019,2 | 1025,6 |
| mittl. Temp.(°C) | 8,4 | 6,9 | 4,5 | 2,1 | 0,2 | 1,7 | 3,4 | 5,5 | 5,1 | 3,3 |
| Sonnenscheindauer (h) | 0 | 0 | 1,2 | 6,3 | 0 | 0 | 0 | 0,4 | 4,1 | 0 |
| Niederschlag (Liter) | 15,2 / 16 | 22,2 / 38 | 1 / 5 | 0 / 2 | 0 | 0 / 0,5 | 0,3 / 1 | 7,9 / 8 | 0,1 / 3 | 2,9 |
| Bodenwetterlage 00 UTC (Kernlage des Druckgebiets, das SW-D beeinflusst) | Azor-H, T ü Irl, T ü Skand | T ü SW-GB | T ü N-Ital u O-Eu, H ü O-Atl | H ü Bisk u O-Atl | H ü SO-D, T ü S-Ital | H ü Alpen u Ukrai | H ü Irland | H ü NW-F | T ü S-Skand, T-Aus ü NO-F, H ü Bisk | H ü F u Iber |
| Bodenströmung 12 UTC zyklonal (z), antizyklonal (a) | fl a | z | a | fl z | fl a | a | a | a | fl z | a |
| Strömung auf 500 hpa 00 UTC | SW z | NW z | N z K | NNO a-z | N a-z | NW fl a | NW a-z | NW a-z | NW z | NW a-z |
| zutreffende Wettersymbole | 5 r | 5 r | 5 r | 2-5 r | 2-5 r | 3-5 r | 5 hr | 5 hr | 3-5 hr | 5 hr |

| | | | | | | | | | | | | | | | | | | | | |
|--|-------|---|-------|---|-------|---|-------|--|---|---|--|---|--|--|---|--|-------|---|-------|---|
| MER 144 PAL SCH 07°31'02" STI 01°31'02" T-1 | 01:38 | PLU 0 JUN STE 17°20'06" STE 17°20'06" A* | 01:24 | MAR 72 VAR WAA 13°33'45" LÖW 01°33'45" A | 06:15 | SON 72 ORC SKO 22°03'01" JUN 10°03'00" A | 05:59 | VEN 135 CHI SKO 09°30'24" FIS 24°30'24" T-2 | 01:25 | MER 72 GSZ WAA 02°18'07" Hf +7 | 01:06 | VEN 45 GaZ SKO 11°59'06" SCH 26°59'06" H+2 | 09:31 | SON 180 SED SKO 26°13'51" STI 26°13'52" A | 02:00 | VEN 45 QUA SKO 14°32'34" SCH 29°32'33" T-2 | 02:16 | VEN 90 CER SKO 15°48'44" LÖW 15°48'44" A K? | | |
| MER 72 KN2 SCH 07°35'38" WAS 19°35'39" A | 02:57 | CER 135 QUA LÖW 14°23'50" SCH 29°23'50" T*-5 | 13:27 | MER 135 URA SCH 10°33'49" WID 25°33'48" A | 06:31 | FY9 45 KN1 WAA 04°25'28" LÖW 19°25'29" H*(9/4) +11 | 07:50 | VES 60 QUA WAA 29°27'10" SCH 29°27'10" A* | 02:38 | PAL 180 VES WID 29°59'27" WAA 29°59'26" T*-5 | 03:48 | CHI 144 VES FIS 24°28'16" SKO 00°28'17" H* 0+5 | 02:18 | VES 72 KN1 SKO 01°12'09" LÖW 19°12'09" A* | 12:32 | SON 30 GaZ SKO 26°59'06" SCH 26°59'06" A | 03:27 | VEN 45 APO SKO 16°08'09" STE 01°08'08" A | 08:27 | VEN 90 CER SKO 15°48'44" LÖW 15°48'44" A K? |
| SAT 120 URA SCH 25°37'51" WID 25°37'51" A* | 09:41 | MER 45 EL6 SCH 09°50'12" WAA 24°50'13" T-1 | 17:47 | VEN 0 JUP SKO 07°20'32" SKO 07°20'32" H W +2 | 08:17 | PAL 120 APO STE 00°28'52" STE 00°28'52" H* --- | 11:27 | SON 150 ERI SKO 23°01'41" WID 23°01'41" Hf +9 | 05:17 | NEP 72 QUA SKO 11°28'39" SCH 29°28'39" T?(0/3) -10/0 | 05:29 | SON 30 EL6 SKO 24°56'01" WAA 24°56'00" A | 02:39 | MER 30 PLU STE 17°28'48" A | 12:51 | VES 90 VAR SKO 01°31'45" LÖW 01°31'44" T* --- | 03:50 | VES 30 GSZ SKO 02°18'09" WAA 02°18'09" H* +5 | 15:04 | VES 30 GSZ SKO 02°18'09" WAA 02°18'09" H* +5 |
| MER 135 ERI SCH 08°03'39" WID 23°03'40" T-2 | 10:59 | MER 90 ORC SCH 10°02'13" JUN 10°02'13" T-2 | 21:17 | MAR 72 SAT WAA 13°52'24" SCH 25°52'25" T-4 | 18:05 | VEN 60 ORC SKO 10°03'42" JUN 10°03'41" A | 12:19 | VEN 45 SAT SKO 11°08'57" SCH 26°08'58" A | 09:07 | SAT 150 SED SCH 26°14'34" STI 26°14'34" A*(7,5/8) | 06:12 | SON 30 SAT SKO 26°22'51" SCH 26°22'50" T-3 | 13:05 | MAR 144 NEP WAA 17°28'07" SCH 26°22'50" A W | 10:57 | SON 150 PAL WAA 17°30'12" STE 17°30'12" A | 12:16 | MAR 90 PLU WAA 17°30'12" STE 17°30'12" A | 10:57 | SON 150 PAL WAA 17°30'12" STE 17°30'12" A |
| SON 45 FY9 SKO 19°22'40" WAA 04°22'39" T-3 | 14:15 | MER 90 NEP FIS 11°29'15" H K +1 | 22:49 | MAR 72 GAZ WAA 14°59'10" SCH 26°59'06" A | | MAR 72 GAZ WAA 14°59'10" SCH 26°59'06" A | 12:24 | MER 135 PAL SCH 14°53'26" WID 29°53'26" A | 12:13 | SON 150 URA SKO 25°24'50" WID 25°24'49" A | 14:05 | MAR 90 PLU WAA 17°30'12" STE 17°30'12" A | 12:16 | MAR 90 PLU WAA 17°30'12" STE 17°30'12" A | 21:02 | MAR 90 PLU WAA 17°30'12" STE 17°30'12" A | 21:02 | MAR 90 PLU WAA 17°30'12" STE 17°30'12" A | | |
| VEN 72 JUN SKO 05°11'45" STE 17°11'46" A | 15:12 | | | | | | | 12:26 | VEN 120 NEP WAA 14°59'10" FIS 11°28'34" T W -2 | 15:22 | MER 60 MAR SCH 16°17'56" WAA 16°17'57" A | 14:25 | MAR 72 QUA WAA 17°33'14" SCH 29°33'15" A | 14:12 | MAR 72 QUA WAA 17°33'14" SCH 29°33'15" A | | | | | |
| VEN 72 PLU SKO 05°19'42" STE 17°19'42" A | 17:44 | | | | | | | 15:49 | SON 120 CHI SKO 24°28'42" FIS 24°28'43" A | 17:50 | MER 72 FY9 SCH 16°28'49" WAA 04°28'50" T 0/-1 | 17:50 | MER 120 KN1 SCH 19°07'49" LÖW 19°07'50" A | 21:04 | MER 120 KN1 SCH 19°07'49" LÖW 19°07'50" A | | | | | |
| SON 90 KN1 SKO 19°33'36" LÖW 19°33'35" A K | 18:36 | | | | | | | 18:19 | MER 120 CER SCH 15°13'15" LÖW 15°13'17" A | 18:14 | JUN 150 KN1 STE 19°14'34" LÖW 19°14'34" A* | 18:14 | MER 120 KN1 SCH 19°07'49" LÖW 19°07'50" A | 21:04 | MER 120 KN1 SCH 19°07'49" LÖW 19°07'50" A | | | | | |
| | | | | | | | | 20:46 | MER 45 VES SCH 15°21'12" SKO 00°21'11" T-1 | 18:55 | MER 135 VAR SCH 16°32'16" LÖW 01°32'16" Hf +7/0 | 20:21 | VES 60 APO SKO 00°51'24" STE 00°51'24" A* | 20:23 | PAL 120 QUA WID 29°30'51" SCH 29°30'51" A* | | | | | |

November 2017



Prognose für SW-Deutschland

Bei den im Index 3 in roter Schrift gekennzeichneten Aspekten haben Partnerplaneten einen geringeren Rang als die Konjunktionsplaneten.

Das Mondapogäum ist vom 24.10. 2017 bis 14.11.2015 mit Quaoar in Konjunktion und löst Neptun 72° Quaoar T*(0/3) aus. Der November beginnt also mit der zweiten Auslösungswoche dieses Aspekts und er wird wegen eines möglichen Gewöhnungseffekts der Atmosphäre ab diesem Monat nur im alternativen Premeteo-Index angerechnet.
Am 3./4. dichteste Positionierung von Venus, Vesta, Haumea. Ab dem 15. tritt Saturn in den Konjunktionsbereich mit dem Galaktischen Zentrum (GaZ) unserer Milchstraße ein. Vom 27. bis 29. bildet Merkur mit Saturn und dem Galaktischen Zentrum einer Dreierkonjunktion.

| Langsamläufer-Impulse | | | | H* | H* | H?* | T* | T*, H* | H* | H* |
|--|---------------------------|----------------|------------------------|--|----------------------------------|---|--|---|---|--|
| Schnellläufer-Impulse | 2H, T, Tf | | 3T, 3H | 2H, T | T, H | H | 2H | 2T | T | 2T, H |
| Temperaturimpulse | K | K | | K, W | K? | K | | K?, W | W | K |
| Premeteo-Index - zyklonal, + antizyklonal (Index 1+2+3) | 10 | -10 | -10 | 19 | 18 | 27 | 6 | -12 | 9 | -19 |
| Pre.IX (ALTERNATIV) | | | | 12 | | 18 | | | 15 | -9 |
| Index 1 (12 - 12 UTC) exakte Aspekte des Tages | 10 | -10 | -10 | 14 | 6 | 11 | -6 | -3 | 5 | -7 |
| Index 1 (ALTERNATIV) | | | | 7 | | 2 | | | | |
| Symmetrien (0 - 0 UTC) | Hau 23 Ven GSZ (15) H --- | | | Sat 3 Qua Mer (16) H?(4/2) A K? ? Eri 2op Mar Hau (18) A ? ? ? Pal 7op Mar Ves (23) A T* -?? | GSZ 61 Son Var (05) H ? ? A +7 | Mer 22 Son Plu (09) T 0 Ura 2 Pal Eri (21) A* A?(2/1) Auslösung Index 3! | GaZ 0 Sat Mer (04) H* (7,5/0,5) H +7 Sed 149 Hau Mer (19) ? ? A A ? Mer 0 Sat GaZ (22) A T* A-7 K? H +7 | Ven 31 Hau GaZ (06) A T ?-7 Qua 23 Son Jun (13) H --- Jun 90 Mar Eri (16) A T* A-7 Jup 15op Ura Sed (17) A?(3/3) ? | Sat 1 GaZ Mer (12) H* (7,5/0,5) A K? +7 Mer 179 Ura Eri (19) T A ? Mer 1 Qua GaZ (21) A H 0 Auslösung Index 3! | Mer 1 Sat Qua (18) A K? A 0 Auslösung Index 3 Hau 149 Chi Sed (22) ? ? ? --- Sed 149 Hau GaZ (23) ? ? ? ? ? |
| Index 2 (12 - 12 UTC) | 0 | 0 | 0 | 0 | 7 | 0 | 7 | -14 | 7 | -7 |
| Index 2 ALTERNATIV | | | | | | | | | | |
| ausgelöste Aspekte (= durch Konjunktionen aktivierte Aspekte) | Sed 150 GaZ ?* | Sed 150 GaZ ?* | Sed 150 GaZ ?* | Pal 120 GaZ H5 Sed 150 GaZ ?* | Pal 120 GaZ H5 Sed 150 GaZ ?* | Pal 120 GaZ H5 Sed 150 GaZ ?* aus Index2: Mer 120 Ura T -1 Chi 30 Ura H* +8 Ura 180 Hau H* +9 Juno 90 Eris T*-5 | Pal 120 GaZ H5 Sed 150 GaZ ?* | Pal 120 GaZ H5 Sed 150 GaZ ?* | Ven 30 GaZ T-2 Pal 120 GaZ H5 Sed 150 GaZ ?* aus Index2: Nep 72 Qua T*(0/3) -10/0 | Pal 120 GaZ H5 Sed 150 GaZ ?* aus Index2: Nep 72 Qua T*(0/3) -10/0 |
| Index 3 (Summe) | 0 | 0 | 0 | 5 | 5 | 16 | 5 | 5 | -3 | -5 |
| Index 3 ALTERNATIV | | | | | | | | | | |
| Symbol-Prognose | 2 | 5 | 5 | 2 | 2 | 2 | 3 | 3 | 3 | 5 |
| Wochentag | Di | Mi | Do | Fr | Sa | So | Mo | Di | Mi | Do |
| Datum | 21 | 22 | 23 | 24 | 25 | 26 | 27 | 28 | 29 | 30 |
| reale Wetterlage | H*, 2H - Tf, T / -7 | | T5: 5T - 2H*, 6H / +27 | | | H6: H*, 3H - T* / +33 | | T6: T*, 5T - 3H*, H / -22 | | |
| Luftdruck (hpa) 06 UTC | 1019,4 | 1015,1 | 1009,9 | 1013 | 1009,9 | 1025,4 | 1028,2 | 1011,6 | 1006,7 | 1007,9 |
| mittl. Temp.(°C) | 7,9 | 7,8 | 12,5 | 13,1 | 7,1 | 3,4 | 4,9 | 5,2 | 2,9 | 2,1 |
| Sonnenscheindauer (h) | 1,5 | 7,4 | 2,5 | 2,7 | 0,4 | 0,8 | 0,8 | 0 | 0,2 | 0 |
| Niederschlag (Liter) | 1,4 / 7,5 | 0 | 0 | 14,3 / 21 | 11,9 / 17 | 0,8 / 1 | 0,2 / 2 | 6,4 / 12 | 5,2 / 6 | 4,8 / 12 |
| Bodenwetterlage 00 UTC (Kernlage des Druckgebiets, das SW-D beeinflusst) | H ü SW-D | H ü O-Alpen | T ü GB u Nm | T ü NW-F u Nm | Wellen-T ü S-D | H ü O-Atl | H ü Bisk | T ü Nsee | T ü S-Schwed | T ü Däne |
| Bodenströmung 12 UTC zyklonal (z), antizyklonal (a) | a | a | a-z | fl a | fl z | fl a | a-z | fl z | fl z | z |
| Strömung auf 500 hpa 00 UTC | NW a-z | W a | SW a-z | SW fl z | SW z | W z | NW z | W a-z | W z | z |
| zutreffende Wettersymbole | 5 f | 2 f | 3-5 r | 5 f | 5 f | 5 f | 5 hr | 5 hr | 5 hr | 5 r |

| | | | | | | | | | |
|---|--|--|--|---|--|---|---|--|---|
| 02:50 SON 144 ERI SKO 28°58'43" WID 22°58'44" H +3 | 11:28 MAR 72 APO WAA 19°22'21" STE 01°22'21" A | 01:55 VEN 45 FY9 SKO 19°33'43" WAA 04°33'42" T-2 | 02:01 SAT 0 GaZ SCH 26°59'06" SCH 26°59'06" H* (7,5/0,5) +7/0 | 02:47 MER 45 JUP SCH 24°50'50" SKO 09°50'50" A | 09:59 URA 135 ORC WID 25°08'13" JUN 10°08'13" A*(6/6) | 02:00 ORC 45 EL6 JUN 10°08'24" WAA 25°08'24" T*-11 | 00:22 MAR 90 JUN WAA 22°51'31" STE 22°51'30" A | 04:26 SED 144 APO STI 26°07'11" STE 02°07'11" T K-2 | 06:01 MER 30 VEN SCH 28°34'24" SCH 28°34'24" T K-2 |
| 06:45 VEN 45 GSZ SKO 17°18'10" WAA 02°18'09" H +2 | 14:54 VEN 90 KNI SKO 18°59'07" LOW 18°59'07" AK | 05:48 MER 120 ERI SCH 02°18'10" WID 22°57'44" H +1 | 09:46 SON 60 GSZ SCH 02°18'10" WAA 02°18'11" H +3 | 02:59 VEN 72 ORC SKO 22°07'50" JUN 10°07'49" A | 12:05 JUP 60 ORC SKO 10°08'15" JUN 10°08'15" A* | 07:39 PLU 72 VES STE 17°42'08" SKO 05°42'08" A* | 02:56 MAR 180 ERI WID 22°55'33" A | 07:24 CER 135 APO LOW 17°08'00" STE 02°08'00" H* +5 | 08:27 MAR 150 CHI WAA 24°19'43" FIS 24°19'43" A |
| 11:30 VEN 60 PLU SKO 17°33'05" STE 17°33'06" T K--- | 22:28 JUP 135 CHI SKO 09°23'20" FIS 24°23'20" A* | 08:16 SON 144 URA SCH 01°13'43" WID 25°13'42" T-3 | 14:55 MER 90 CHI SCH 24°22'16" FIS 24°22'15" AK | 03:25 VES 30 FY9 SKO 04°35'27" WAA 04°35'27" A* | 13:42 MER 150 SED SCH 26°08'48" STI 26°08'47" A | 11:49 VEN 150 URA SKO 25°06'23" WID 25°06'23" A | 04:46 JUN 90 ERI STE 22°55'30" SCH 22°55'31" T*-5 | 11:12 VEN 30 SAT SKO 27°35'16" SCH 27°35'16" AW | 12:25 VEN 144 ERI SKO 28°54'31" WID 22°54'32" T-2 |
| 17:42 SON 30 QUA SKO 29°36'16" SCH 29°36'16" A | 09:11 VEN 30 MAR SKO 19°56'33" WAA 19°56'33" H --- | 17:38 SON 45 PLU SCH 02°38'03" STE 17°38'03" T --- | 08:10 JUP 72 JUN SKO 09°53'39" STE 21°53'39" H* +5 | 09:26 MER 60 EL6 SCH 25°06'24" WAA 25°06'24" A | 14:55 VEN 30 EL6 WID 25°07'52" SKO 25°08'57" WAA 25°07'52" H*(5/1,5) +9/0 | 12:38 SON 30 VES SKO 06°09'48" WAA 25°08'56" A | 05:20 SON 135 ERI SCH 07°54'46" WID 22°54'46" T-3 | 22:48 CER 45 GSZ LOW 17°18'13" WAA 02°18'14" H* +5 | 20:06 GSZ 90 APO WAA 02°18'14" STE 02°18'14" H* +11 |
| 22:08 MAR 60 KNI WAA 19°01'21" LOW 19°01'21" TI -10 | 13:36 VAR 150 APO LOW 01°29'44" STE 01°29'44" A* | 18:37 VEN 60 JUN SKO 21°41'33" WAA 21°41'33" HW +2 | 10:57 MER 120 URA SCH 25°09'54" WID 25°09'54" T K? -1 | 15:54 SON 144 PAL SCH 03°34'22" WID 27°34'22" A | 22:28 SAT 120 PAL SCH 27°18'10" WID 27°18'10" A* | 15:08 MER 0 GaZ SCH 26°59'06" SCH 26°59'06" H +2 | 07:00 MER 0 SAT SCH 27°27'19" SCH 27°27'19" A K? | 12:45 PAL 120 GaZ WID 26°59'06" SCH 26°59'06" H* +5 | 17:10 SON 72 KN2 SCH 06°39'45" WAS 18°39'46" T W -3 |
| | 18:04 MAR 144 SED WAA 20°10'32" STI 26°10'32" H +4 | 19:09 MER 144 VAR SCH 25°28'34" LOW 01°28'34" A | | | | | 22:15 VEN 150 PAL SKO 26°54'35" WID 26°54'35" A | 23:41 VEN 30 GaZ SKO 26°59'05" SCH 26°59'06" T-2 | |

06.12.2017
November 2017
01.11.2017



im Index 3 korrigiert
Prognose für SW-Deutschland
 Bei den im Index 3 in roter Schrift gekennzeichneten Aspekten haben Partnerplaneten einen geringeren Rang als die Konjunktionsplaneten.

Das Mondpogäum ist vom 24.10.2017 bis 14.11.2015 mit Quaoar in Konjunktion und löst Neptun 72° Quaoar T?(0/3) aus. Der November beginnt also mit der zweiten Auslösewoche dieses Aspekts und er wird wegen eines möglichen Gewöhnungseffekts der Atmosphäre ab diesem Monat nur im alternativen Premeteo-Index angerechnet.
 Am 3./4. dichteste Positionierung von Venus, Vesta, Haumea. Ab dem 15. tritt Saturn in den Konjunktionsbereich mit dem Galaktischen Zentrum (GaZ) unserer Milchstraße ein. Vom 27. bis 29. bildet Merkur mit Saturn und dem Galaktischen Zentrum einer Dreierkonjunktion.

| Langsamläufer-Impulse | H* | 2H* | | | | T* | | H* | T* | |
|--|---|--|--|---|--|--|--|--|---|--|
| Schnellläufer-Impulse | H | 2T | 2H, T | Hf, H, T | T, H | H, T | 3T, H | 2T, H | H, T | |
| Temperaturimpulse | | | W | K | | | K? | W, K | K | |
| Premeteo-Index -zyklonal, + antizyklonal (Index 1+2+3) | 23 | 28 | 15 | 19 | 3 | 1 | -4 | -10 | 5 | |
| Pre.IX (ALTERNATIV) | 9 | | 8 | | | | | 5 | -3 | |
| Index 1 (12 - 12 UTC) exakte Aspekte des Tages | 4 | 2 | 5 | 12 | -4 | 1 | -11 | -3 | 8 | |
| Index 1(ALTERNATIV) | | | | | | | | | | |
| Symmetrien (0 - 0 UTC) | Mak 2 Mar GSZ (10) A? Auslösung! Hau 179 Ura Eri (14) H?(5/1,5) ? ? ? ? Plu 68 Son Chi (17) T ... | Mer 30 Sat Hau (04) A A H?(12,5/4) +14 Eri 180 Ven Ves (06) A H? 0 Index 1 GaZ 2 Sat Qua (18) H*(7,0,5) ? +7/0 ... | Son 15op Ura Sed (10) A?(3/3) -- Hau 1 Ven Ves (22) A? Auslösung! Ven 149 Chi Sed (23) A H ? -- | Pal 8op Son Ven (01) H H -?? Sed 149 Ven GaZ (03) H ? T +? Son 16 Ven Mer (17) T K -- Pal 9op Son Hau (17) H A? +?? GSZ 22 Orc Hau (18) T -- Pal 9op Son Ves (23) H T -?? | Ura 1op Ven Hau (03) A H?(5/1,5) 0 Index 1 Ves 179 Ura Eri (10) A? H? +? Jup 8 Son Ven (19) A W H W +?? Mar 15op Chi Eri (21) ? -- | Ven 5op Pal Eri (00) H Chi 15op Mar Orc (16) H -- Ven 4op Ura Pal (22) A H +?? | Pal 3op Ven Jup (03) H A? +? Ves 149 Chi Sed (10) A? A? -- Pal 150 GSZ Mer (18) H? T ? ? Sed 149 Ven GaZ (19) A? ? A ? ? Ven 6 Jup Hau (20) H W A +?? GSZ 61 Var Mer (21) ? T T ? Mar 15op Ura Chi (23) H*(8/3) -- | Var 89 Ven Pal (01) H T? H? Ven 5 Jup Ves (09) H W H +?? | Ura 1op Ven Hau (14) A? H?(5/1,5) +7/0 ... | Pal 5op Jup Ves (04) A? T -?? Ves 4op Pal Eri (22) T? H? ? |
| Index 2 (12 - 12 UTC) | 14 | 21 | 7 | 7 | 7 | 0 | 7 | -7 | 0 | |
| Index 2 ALTERNATIV | 0 | | 0 | | | | | 0 | 0 | |
| ausgelöste Aspekte (= durch Konjunktionen aktivierte Aspekte) | Ves 180 Eri H5 Nep 72 Qua T?(0/3) 0/-10 aus Index 2: Jup 30 Mak H+6 Mak 45 Kri H+11 ... | Ves 180 Eri H5 Nep 72 Qua T?(0/3) 0/-10 | Sat 60 Hau H7 Orc 45 Hau T-11 Nep 72 Qua T?(0/3) 0/-10 Chi 150 Hau T?(5/10,5) -8 aus Index 2: Ven 60 Sat T-2 Ves 180 Eri H+5 | Sat 60 Hau H7 Orc 45 Hau T-11 Nep 72 Qua T?(0/3) 0/-10 Chi 150 Hau T?(5/10,5) -8 | Sat 60 Hau H7 Orc 45 Hau T-11 Nep 72 Qua T?(0/3) 0/-10 Chi 150 Hau T?(5/10,5) -8 | Sat 60 Hau H7 Orc 45 Hau T-11 Nep 72 Qua T?(0/3) 0/-10 Chi 150 Hau T?(5/10,5) -8 | Sat 60 Hau H7 Orc 45 Hau T-11 Nep 72 Qua T?(0/3) 0/-10 Chi 150 Hau T?(5/10,5) -8 | Cer 135 Qua T-5 Nep 72 Qua T?(0/3) 0/-10 | Son 60 Plu T-3 Cer 135 Qua T-5 Nep 72 Qua T?(0/3) 0/-10 | Son 60 Plu T-3 Cer 135 Qua T-5 Nep 72 Qua T?(0/3) 0/-10 |
| Index 3 (Summe) | 5 | 5 | 3 | 0 | 0 | 0 | 0 | 0 | -3 | |
| Index 3 ALTERNATIV | | | | | | | | | | |
| Symbol-Prognose | 2 | 2 | 2 | 2 | 3 | 3 | 3 | 5 | 3 | |
| Symbol-Prognose altern. | 3 | 2 | 3 | 2 | 3 | 3 | 3 | 5 | 3 | |
| Wochentag | Mi | Do | Fr | Sa | So | Mo | Di | Mi | Do | |
| Datum | 1 | 2 | 3 | 4 | 5 | 6 | 7 | 8 | 9 | |
| reale Wetterlage | H1: 3H*, 3H - 3T / +66 | | | T1:T-Hf, H / +19 | H2: 2H - T*, 2T / +4 | | T2: 5T - H*, 2H / -14 | | H3: H - T*, 4T / +3 | |
| Luftdruck (hpa) 06 UTC | 1026,2 | 1018 | 1017,9 | 1012,8 | 1007 | 1021 | 1021 | 1017 | 1023,4 | |
| mittl. Temp.(°C) | 6,7 | 10,6 | 10,3 | 12 | 9,5 | 5,6 | 5,4 | 6,6 | 6,5 | |
| Sonnenscheindauer (h) | 8 | 0,8 | 4,9 | 4,3 | 0 | 0,9 | 0 | 0 | 0 | |
| Niederschlag (Liter) | 0 | 0 | 0 | 3,9 | 16,2 / 29 | 0 | 3,6 | 2,6 / 10,5 | 0,1 | |
| Bodenwetterlage 00 UTC (Kernlage des Druckgebiets, das SW-D beeinflusst) | H mit Kernen ü F u Balk | H ü S-D | H ü SO-F | T ü NW-F, T ü Balk | T ü Nm u S-Skand | Azor-H, T ü N-Italien | T ü Korsik, H ü Benel | fl T ü S-D | fl H-Zone zw. Azor-H u H ü SW-R | |
| Bodenströmung 12 UTC zyklonal (z), antizyklonal (a) | a | a-z | a-z | a-z | a | a-z | z | a-z | a | |
| Strömung auf 500 hpa 00 UTC | NW a | W a-z | NW a-z | SW a | SW a-z | z | O z | O z | W z | |
| zutreffende Wettersymbole | 2 r | 3-5 f | 3 hr | 3-5 f | 5 hr | 5 hr | 5 hr | 5 r | 5 hr | |

Übertrag 04:03 00:13 00:07 05:03 01:51 01:25 01:01 00:16 00:28 00:12
 Index 1: 0
 Index 2: +14 / 0

| | | | | | | | | | |
|--|--|--|---|--|--|--|--|--|--|
| MER 150 ERI SKO 23°09'25" WID 23°09'25" A | VEN 180 ERI WAA 23°08'56" WID 23°08'56" A | QUA 0 APO SCH 29°12'11" SCH 29°12'11" A | VEN 180 URA WAA 25°54'04" WID 25°54'05" A | VEN 60 GaZ WAA 26°59'07" SCH 26°59'07" T-2 | NEP 72 APO FIS 11°32'36" SCH 29°32'36" A | MER 144 URA SCH 01°47'35" WID 25°47'34" T-2 | VEN 144 CHI SCH 00°39'28" FIS 24°39'27" A | VES 150 SED WAA 26°19'41" STI 02°06'45" A | MAR 150 NEP WAA 11°30'40" FIS 11°30'40" A |
| JUP 180 PAL SKO 04°42'10" STI 04°42'09" A | CER 135 GaZ LÖW 11°59'08" SCH 26°59'08" A | MER 150 URA SKO 25°56'47" WID 25°56'48" H+1 | SON 45 GaZ SKO 11°59'07" SCH 26°59'07" Hf +9 | MER 144 ERI SKO 29°07'06" WID 23°07'06" H+1 | MER 45 JUN SCH 00°25'38" STE 15°25'38" H+1 | VEN 60 APO WAA 29°40'24" SCH 29°40'24" A | SON 60 JUN SKO 16°08'45" STI 02°06'45" T-3 | VEN 180 PAL SKO 02°06'46" STI 02°06'45" H+4 | VES 60 GaZ WAA 26°59'07" SCH 26°59'07" A |
| VEN 0 VES WAA 22°26'23" WAA 22°26'23" H+4 | SON 135 CHI SKO 09°48'53" FIS 24°48'53" T-3 | VEN 0 EL6 WAA 24°36'57" WAA 24°36'58" A | VEN 150 SED WAA 26°22'22" STI 26°22'22" H+2 | MER 30 QUA SKO 29°14'49" SCH 29°14'50" A | VEN 45 ORC WAA 24°57'56" JUN 09°57'56" A | MER 45 PLU SCH 02°14'26" STE 17°14'25" A | PAL 150 GSZ STI 02°18'04" WAA 02°18'04" H+5 | VEN 30 GSZ SKO 02°18'06" WAA 02°18'04" A | MER 30 JUP SCH 06°43'47" SKO 06°43'45" A |
| JUN 144 KNI STE 14°05'28" LÖW 20°05'28" H+5 | MER 30 EL6 SKO 05°09'59" WAA 24°35'29" A | JUP 72 PLU STE 17°09'60" FIS 11°33'22" A | VEN 135 NEP WAA 26°33'22" FIS 11°33'22" A | MER 30 APO SKO 29°28'30" SCH 29°28'30" A | SON 45 QUA SKO 14°16'17" SCH 29°16'17" A | MER 60 GSZ SKO 02°18'02" WAA 02°18'03" T-2 | VEN 90 VAR LÖW 01°34'45" WAA 26°30'57" A | NEP 135 VES FIS 11°30'57" WAA 26°30'57" A | PAL 72 KN2 STI 01°36'48" WAS 19°36'49" A |
| SON 45 SAT SKO 09°41'56" SCH 24°41'55" A | SON 60 ORC SKO 09°54'44" JUN 09°54'43" A | VEN 150 CHI WAA 24°46'46" FIS 24°46'46" A | CER 72 EL6 LÖW 12°39'11" WAA 24°39'11" A | VEN 0 EL6 WAA 24°40'40" WAA 24°40'40" T*(5/10,5) -8 | CHI 150 EL6 FIS 24°41'40" WAA 24°41'40" T*(5/10,5) -8 | MAR 30 ORC WAA 09°58'48" JUN 09°58'48" H+4 | MER 60 FY9 SCH 04°19'38" WAA 04°19'40" T-3 | SON 60 PLU STE 17°16'57" STE 17°16'57" T-3 | SAT 144 VAR SCH 25°34'21" LÖW 01°34'21" A |
| MER 30 SAT SKO 24°43'29" SCH 24°43'29" A | MER 180 SED SKO 26°23'06" STI 26°23'07" A | SON 90 CER SKO 12°41'51" LÖW 12°41'52" T K -3 | CHI 150 VES FIS 24°42'39" WAA 24°42'40" A | CER 72 VES LÖW 13°05'30" WAA 25°05'30" A | MER 150 PAL SCH 02°36'41" STI 02°36'41" T-2 | VEN 72 KNI LÖW 19°42'52" T K -- | SON 45 GSZ SKO 17°18'05" WAA 02°18'04" A | PAL 90 VAR STI 01°34'20" T -- | |
| MER 120 CHI SKO 24°48'30" FIS 24°48'31" A | VEN 60 SAT WAA 24°49'59" SCH 24°49'58" T-4 | VEN 45 ORC WAA 24°55'43" JUN 09°55'43" A | VEN 150 VES WAA 25°09'45" WAA 25°09'45" A | URA 180 VES WID 25°45'36" WAA 25°45'36" A | MAR 135 SED WAA 11°19'16" STI 26°19'16" A | VEN 30 FY9 WAA 04°21'59" WAA 04°21'60" A | | | |
| PAL 150 FY9 STI 04°12'42" WAA 04°12'42" H+5 | VEN 45 ORC WAA 24°55'43" JUN 09°55'43" A | VEN 150 VES WAA 25°09'45" WAA 25°09'45" A | SON 45 APO SKO 14°38'01" SCH 29°38'01" A | MER 120 VAR SCH 01°35'00" LÖW 01°35'01" T-1 | VEN 60 QUA WAA 29°16'46" SCH 29°16'46" A | | | | |
| VEN 180 ERI WAA 23°08'28" WID 23°08'28" H+5 | MER 30 GaZ SKO 26°59'07" SCH 26°59'07" H+1 | SON 120 NEP SKO 11°33'54" FIS 11°33'55" A | SAT 90 CHI SCH 24°47'26" FIS 24°47'26" A | VEN 60 QUA WAA 29°16'46" SCH 29°16'46" A | | | | | |

November 2017



Im Index 3 korrigiert
Prognose für SW-Deutschland
 Bei den im Index 3 in roter Schrift gekennzeichneten Aspekten haben Partnerplaneten einen geringeren Rang als die Konjunktionsplaneten.

Das Mondapogäum ist vom 24.10.2017 bis 14.11.2015 mit Quaoar in Konjunktion und löst Neptun 72° Quaoar T?*(0/3) aus. Der November beginnt also mit der zweiten Auslösungswoche dieses Aspekts und er wird wegen eines möglichen Gewöhnungseffekts der Atmosphäre ab diesem Monat nur im alternativen Premeteo-Index angedeutet.
 Am 3.4. dichteste Positionierung von Venus, Vesta, Haumea. Ab dem 15. tritt Saturn in den Konjunktionsbereich mit dem Galaktischen Zentrum (GaZ) unserer Milchstraße ein. Vom 27. bis 29. bildet Merkur mit Saturn und dem Galaktischen Zentrum einer Dreierkonjunktion.

| | | | | | | | | | | |
|--|---|--|--|---|---|---|--|----------------------------|---|--|
| Langsamläufer-Impulse | | T* | | H?*, H* | | T*, T?* | H* | | T* | H* |
| Schnellläufer-Impulse | 3T | 2T | 2H, T | | T, Hf | Hf, 2T | H, T, Hf | T | T | |
| Temperaturimpulse | K | | W, K | | | W | | | | K? |
| Premeteo-Index - zyklonal, + antizyklonal (Index 1+2+3) | -6 | -14 | -27 | 8 | 7 | -10 | 1 | -3 | -2 | -7 |
| Pre.IX (ALTERNATIV) | | | | | | 5 | 6 | -11 | | 0 |
| Index 1 (12 - 12 UTC) exakte Aspekte des Tages | -6 | 0 | -6 | 8 | 7 | -10 | 1 | 4 | -2 | 0 |
| Index 1(ALTERNATIV) | | | | | | 5 | 6 | -4 | | |
| Symmetrien (0 - 0 UTC) | Son 37 Mar Sat (03) T, Pal 4op Ven Ves (13) H T ? | Hau 45 Orc Mer (14) T T T -14 Ves Sop Ura Pal (20) A* T -7 | Pal 6op Ven Hau (01) H A* +7? Mer 91 Nep Orc (10) H K T ? ? ? Mar 72 Sat Var (12) T A A* -7 Ura 134 Orc Mer (15) A(6/6) T -7 | Mar 73 Var GaZ (09) A A ? ... | Mer 35 Jup Jun (02) H* 0 Jup 35 GSZ Mer (05) Hf - ... Plu 67 Ven Chi (18) T - ... | Ven 15op Ura Sed (04) A?*(3/3) ? En 7op Mar Ves (17) A H* +7? | Mer 134 Pal Var (02) A Hf T ? ? Son 31 Sat Hau (19) T A H(12,5/4) -7 | Mar 14 Ves GSZ (04) H* ... | Qua 72 Mar Nep (18) A T?(0/3) A W -70 Jup 7 Ven Ves (22) H W A* +7? | Hau 7 Mar Ves (05) H A* -7? Ven 14 Ven Mar (11) H ... Ura 31 Chi Sed (16) H(8/3) ? A?*(3/3) - Ura 7op Mar Ves (18) T A* -7? Pal 4op Ves Hau (21) T* A* -7? |
| Index 2 (12 - 12 UTC) | 0 | -14 | -21 | 0 | 0 | 0 | 0 | -7 | 0 | -7 |
| Index 2 ALTERNATIV | | | | | | | | | | 0 |
| ausgelöste Aspekte (= durch Konjunktionen aktivierte Aspekte) | Cer 135 Qua T-5 Nep 72 Qua T?*(0/3) 0/-10 | Cer 135 Qua T-5 Nep 72 Qua T?*(0/3) 0/-10 | Cer 135 Qua T-5 Nep 72 Qua T?*(0/3) 0/-10 | Cer 135 Qua T-5 Nep 72 Qua T?*(0/3) 0/-10 | Sed 150 GaZ ?* | Sed 150 GaZ ?* | Ven 45 GaZ H2 Sed 150 GaZ ?* | Sed 150 GaZ ?* | Sed 150 GaZ ?* | Sed 150 GaZ ?* |
| Index 3 (Summe) | 0 | 0 | 0 | 0 | 0 | 0 | 0 | 0 | 0 | 0 |
| Index 3 ALTERNATIV | | | | | | | | | | |
| Symbol-Prognose | 3 | 5 | 5 | 3 | 3 | 3 | 3 | 3 | 3 | 3 |
| Wochentag | Sa | So | Mo | Di | Mi | Do | Fr | Sa | So | Mo |
| Datum | 11 | 12 | 13 | 14 | 15 | 16 | 17 | 18 | 19 | 20 |
| reale Wetterlage | | T3: T*, 2T / -14 | H4: 3H*, 3Hf, 3H - 2T*, 6T / -24 | | | | | | T4: T*, T / -2 | H5: --- |
| Luftdruck (hpa) 06 UTC | 1019 | 1008 | 1013,9 | 1026,3 | 1028,2 | 1025,7 | 1027,7 | 1025,4 | 1019,2 | 1025,6 |
| mittl. Temp.(°C) | 8,4 | 6,9 | 4,5 | 2,1 | 0,2 | 1,7 | 3,4 | 5,5 | 5,1 | 3,3 |
| Sonnenscheindauer (h) | 0 | 0 | 1,2 | 6,3 | 0 | 0 | 0 | 0,4 | 4,1 | 0 |
| Niederschlag (Liter) | 15,2 / 16 | 22,2 / 38 | 1 / 5 | 0 / 2 | 0 | 0 / 0,5 | 0,3 / 1 | 7,9 / 8 | 0,1 / 3 | 2,9 |
| Bodenwetterlage 00 UTC (Kernlage des Druckgebiets, das SW-D beeinflusst) | Azor-H, T ü Irl, T ü Skand | T ü SW-GB | T ü N-Ital u O-Eu, H ü O-Atl | H ü Bisk u O-Atl | H ü SO-D, T ü S-Ital | H ü Alpen u Ukrai | H ü Irland | H ü NW-F | T ü S-Skand, T-Ausl ü NO-F, H ü Bisk | H ü F u Iber |
| Bodenströmung 12 UTC zyklonal (z), antizyklonal (a) | fl a | z | a | fl z | fl a | a | a | a | fl z | a |
| Strömung auf 500 hpa 00 UTC | SW z | NW z | N z K | NNO a-z | N a-z | NW fl a | NW a-z | NW a-z | NW z | NW a-z |
| zutreffende Wettersymbole | 5 hr | 5 r | 5 r | 2-5 r | 2-5 r | 3-5 r | 5 hr | 5 hr | 3-5 hr | 5 hr |

| | | | | | | | | | | | | | | | | | | | |
|--|-------|-------|--|-------|-------|---|-------|---|-------|--------------------------------------|--|--|--|--|---|---|--|--|---|
| MER 144 PAL SCH 07*31'02" STI 01*31'02" T-1 | 01:38 | 01:24 | MAR 72 VAR STE 17*20'06" STE 17*20'06" A* | 06:15 | 05:59 | SON 72 ORC WAA 13*33'45" LÖW 01*33'45" A | 01:42 | VEN 135 CHI SKO 09*30'24" FIS 24*30'24" T-2 | 01:25 | MER 72 GSZ WAA 02*18'07" Hf +7 | 01:06 | VEN 45 GaZ SKO 11*59'06" SCH 26*59'06" H +2 | 09:31 | SON 180 SED SKO 26*13'52" STI 26*13'52" T-2 | 02:00 | VEN 45 OUA SKO 14*32'34" SCH 29*32'33" T-2 | 02:16 | VEN 90 CER SKO 15*48'44" LÖW 15*48'44" A K? | |
| MER 72 KN2 SCH 07*35'38" WAS 19*35'39" A | 02:57 | 13:27 | CER 135 QUA LÖW 14*23'50" SCH 29*23'50" T-5 | 06:31 | 07:50 | MER 135 URA SCH 10*33'49" WID 25*33'48" A | 02:38 | FY9 45 KNI WAA 04*25'28" LÖW 19*25'29" H?(9/4) +11 | 03:48 | 03:48 | CHI 144 VES FIS 24*28'16" SKO 00*28'17" H* 0/+5 | 02:18 | VES 72 KNI SKO 01*12'09" LÖW 19*12'09" A* | 12:32 | SON 30 GaZ SKO 26*59'06" SCH 26*59'06" A | 03:27 | VEN 45 APO SKO 16*08'09" STE 01*08'08" A | 08:27 | |
| SAT 120 URA SCH 25*37'51" WID 25*37'51" A* | 09:41 | 17:47 | MER 45 EL6 SCH 09*50'12" WAA 24*50'13" T-1 | 08:17 | 11:27 | VEN 0 JUP SKO 07*20'32" SKO 07*20'32" H W +2 | 05:17 | PAL 120 APO STI 00*28'52" STE 00*28'52" H* --- | 05:17 | 05:29 | NEP 72 QUA FIS 11*28'39" SCH 29*28'39" T?*(0/3) -10/0 | 02:39 | SON 30 EL6 SKO 24*56'01" WAA 24*56'00" A | 12:51 | MER 30 PLU SCH 17*28'48" STE 17*28'48" T-3 | 12:51 | VES 90 VAR SKO 01*31'45" LÖW 01*31'44" T* --- | 16:04 | VES 30 GSZ SKO 02*18'09" WAA 02*18'09" H* +5 |
| MER 135 ERI SCH 08*03'39" WID 23*03'40" T-2 | 10:59 | 21:17 | MER 90 ORC SCH 10*02'13" JUN 10*02'13" T-2 | 18:05 | 18:05 | MAR 72 SAT WAA 13*52'24" SCH 25*52'25" T-4 | 12:19 | VEN 60 ORC SKO 10*03'42" JUN 10*03'41" A | 09:07 | 09:07 | VEN 45 SAT SKO 11*08'57" SCH 26*08'58" A | 06:12 | SAT 150 SED SCH 26*14'34" STI 26*14'34" A*(7,5/8) | 13:05 | SON 30 SAT SKO 26*22'51" SCH 26*22'50" T-3 | 10:57 | MAR 144 NEP WAA 17*28'07" FIS 11*28'08" A W | 20:31 | SON 150 PAL SKO 28*42'46" WID 28*42'47" A |
| SON 45 FY9 SKO 19*22'40" WAA 04*22'39" T-3 | 14:15 | | MER 90 NEP SCH 11*29'15" FIS 11*29'15" H K +1 | 22:49 | | MAR 72 GaZ WAA 14*59'07" SCH 26*59'06" A | 12:24 | MER 135 PAL SCH 14*53'26" WID 29*53'26" A | 12:13 | 12:13 | SON 150 URA SKO 25*24'50" WID 25*24'49" A | 14:05 | MAR 90 PLU WAA 17*30'12" STE 17*30'12" A | 12:16 | MER 30 JUN SCH 20*19'04" STE 20*19'04" A | 21:02 | | | |
| VEN 72 JUN SKO 05*11'45" STE 17*11'46" A | 15:12 | | | | | MAR 60 CER WAA 14*59'10" LÖW 14*59'10" A | 12:26 | VEN 120 NEP SKO 11*28'33" FIS 11*28'34" T W -2 | 15:22 | 15:22 | MER 60 MAR SCH 16*17'56" WAA 16*17'57" A | 14:25 | MAR 72 QUA WAA 17*33'14" SCH 29*33'15" A | 14:12 | | | | | |
| VEN 72 PLU SKO 05*19'42" STE 17*19'42" A | 17:44 | | | | | SON 120 CHI SKO 24*28'42" FIS 24*28'43" A | 15:49 | MER 72 FY9 SCH 16*28'49" WAA 04*28'50" T 0/-1 | 17:50 | 17:50 | | | 21:04 | MER 120 KNI SCH 19*07'49" LÖW 19*07'50" A | | | | | |
| SON 90 KNI SKO 19*33'36" LÖW 19*33'35" A K | 18:36 | | | | | MER 120 CER SCH 15*13'15" LÖW 15*13'17" A | 20:46 | JUN 150 KNI STE 19*14'34" LÖW 19*14'34" A* | 18:55 | 18:55 | MER 135 VAR SCH 16*32'16" LÖW 01*32'16" Hf +7/0 | 20:21 | VES 60 APO SKO 00*51'24" STE 00*51'24" A* | 20:23 | PAL 120 QUA WID 29*30'51" SCH 29*30'51" A* | | | | |

November 2017



im Index 3 korrigiert
Prognose für SW-Deutschland

Bei den im Index 3 in roter Schrift gekennzeichneten Aspekten haben Partnerplaneten einen geringeren Rang als die Konjunktionsplaneten.

Das Mondapogäum ist vom 24. 10. 2017 bis 14. 11. 2015 mit Quaoar in Konjunktion und löst Neptun 72° Quaoar T2*(0/3) aus. Der November beginnt also mit der zweiten Auslösungswoche dieses Aspekts und er wird wegen eines möglichen Gewöhnungseffekts der Atmosphäre ab diesem Monat nur im alternativen Premeteo-Index angerechnet.
 Am 3./4. dichteste Positionierung von Venus, Vesta, Haumea. Ab dem 15. tritt Saturn in den Konjunktionsbereich mit dem Galaktischen Zentrum (GaZ) unserer Milchstraße ein. Vom 27. bis 29. bildet Merkur mit Saturn und dem Galaktischen Zentrum einer Dreierkonjunktion.

| Langsamläufer-Impulse | | | | H* | H* | H?* | T* | T*, H* | H* | H* |
|--|---------------------------|----------------|------------------------|--|-------------------------------|---|---|--|--|---|
| Schnellläufer-Impulse | 2H, T, Tf | | 3T, 3H | 2H, T | T, H | H | 2H | 2T | T | 2T, H |
| Temperaturimpulse | K | K | | K, W | K? | K | | K?, W | W | K |
| Premeteo-Index - zyklonal, + antizyklonal (Index 1+2+3) | 10 | -10 | -10 | 14 | 13 | 19 | 1 | -17 | 12 | -14 |
| Pre.IX (ALTERNATIV) | | | | 7 | | 10 | | | | |
| Index 1 (12 - 12 UTC) exakte Aspekte des Tages | 10 | -10 | -10 | 14 | 6 | 11 | -6 | -3 | 5 | -7 |
| Index 1 (ALTERNATIV) | | | | 7 | | 2 | | | | |
| Symmetrien (0 - 0 UTC) | Hau 23 Ven GSZ (15) H --- | | | Sat 3 Qua Mer (16) H?*(4/2) A K? ? Eri 20p Mar Hau (18) A ?? ? Pal 7op Mar Ven (23) A T* -?? | GSZ 61 Son Var (05) H ?* A +7 | Mer 22 Son Plu (09) T 0 Ura 2 Pal Eri (21) A? A?*(2/1) Auslösung Index 3! | GaZ 0 Sat Mer (04) H* (7,5/0,5) H +7 Sed 149 Hau Mer (19) ?* A A ? Mer 0 Sat GaZ (22) A K? H +7 | Ven 31 Hau GaZ (06) A T ?* -7 Qua 23 Son Jun (13) H --- Jun 90 Mar Eri (16) T A -7 A T* A -7 Jup 150p Ura Sed (17) A?(3/3) ? | Sat 1 GaZ Mer (12) H* (7,5/0,5) A K? +7 Mer 179 Ura Eri (19) T A -7 Mer 1 Qua GaZ (21) A H 0 Auslösung Index 3! | Mer 1 Sat Qua (18) A K? A 0 Auslösung Index 3 Hau 149 Chi Sed (22) ? ? ? --- Sed 149 Hau GaZ (23) ?* ?* ?* ? |
| Index 2 (12 - 12 UTC) | 0 | 0 | 0 | 0 | 7 | 0 | 7 | -14 | 7 | -7 |
| Index 2 ALTERNATIV | | | | | | | | | | |
| ausgelöste Aspekte (= durch Konjunktionen aktivierte Aspekte) | Sed 150 GaZ ?* | Sed 150 GaZ ?* | Sed 150 GaZ ?* | Pal 120 GaZ H5 Sed 150 GaZ ?* | Pal 120 GaZ H5 Sed 150 GaZ ?* | Pal 120 GaZ H5 Sed 150 GaZ ?* Mer 120 Ura T -1 Chi 30 Ura H* +8 Ura 180 Hau H* +9 Juno 90 Eris T* -5 | Pal 120 GaZ H5 Sed 150 GaZ ?* | Pal 120 GaZ H5 Sed 150 GaZ ?* | Ven 30 GaZ T-2 Pal 120 GaZ H5 Sed 150 GaZ ?* aus Index2: Nep 72 Qua T2*(0/3) -100 | Pal 120 GaZ H5 Sed 150 GaZ ?* aus Index2: Nep 72 Qua T2*(0/3) -100 |
| Index 3 (Summe) | 0 | 0 | 0 | 0 | 0 | 8 | 0 | 0 | 0 | 0 |
| Index 3 ALTERNATIV | | | | | | | | | | |
| Symbol-Prognose | 3 | 5 | 5 | 2 | 2 | 2 | 3 | 3 | 2 | 3 |
| Wochentag | Di | Mi | Do | Fr | Sa | So | Mo | Di | Mi | Do |
| Datum | 21 | 22 | 23 | 24 | 25 | 26 | 27 | 28 | 29 | 30 |
| reale Wetterlage | H*, 2H - Tf, T / -7 | | T5: 5T - 2H*, 6H / +17 | | H6: H*, 3H - T* / +20 | | T6: T*, 5T - 3H*, H / -19 | | | |
| Luftdruck (hpa) 06 UTC | 1019,4 | 1015,1 | 1009,9 | 1013 | 1009,9 | 1025,4 | 1028,2 | 1011,6 | 1006,7 | 1007,9 |
| mittl. Temp.(°C) | 7,9 | 7,8 | 12,5 | 13,1 | 7,1 | 3,4 | 4,9 | 5,2 | 2,9 | 2,1 |
| Sonnenscheindauer (h) | 1,5 | 7,4 | 2,5 | 2,7 | 0,4 | 0,8 | 0,8 | 0 | 0,2 | 0 |
| Niederschlag (Liter) | 1,4 / 7,5 | 0 | 0 | 14,3 / 21 | 11,9 / 17 | 0,8 / 1 | 0,2 / 2 | 6,4 / 12 | 5,2 / 6 | 4,8 / 12 |
| Bodenwetterlage 00 UTC (Kernlage des Druckgebiets, das SW-D beeinflusst) | H ü SW-D | H ü O-Alpen | T ü GB u Nm | T ü NW-F u Nm | Wellen-T ü S-D | H ü O-Atl | H ü Bisk | T ü Nsee | T ü S-Schwed | T ü Däne |
| Bodenströmung 12 UTC zyklonal (z), antizyklonal (a) | a | a | a-z | fl a | fl z | fl a | a-z | fl z | fl z | z |
| Strömung auf 500 hpa 00 UTC | NW a-z | W a | SW a-z | SW fl z | SW z | W z | NW z | W a-z | W z | z |
| zutreffende Wettersymbole | 5 f | 2 f | 3-5 r | 5 f | 5 f | 5 f | 5 hr | 5 hr | 5 hr | 5 r |

| 02:50 | 11:28 | 01:55 | 02:01 | 02:47 | 09:59 | 02:00 | 04:26 | 06:01 | |
|---|---|--|---|---|--|---|---|---|---|
| SON 144 ERI SKO 28°58'43" WID 22°58'44" H +3 | MAR 72 APO WAA 19°22'21" STE 01°22'21" A | VEN 45 FY9 SKO 19°33'43" WAA 04°33'42" T -2 | SAT 0 GaZ SCH 26°59'06" SCH 26°59'06" H* (7,5/0,5) +7/0 | MER 45 JUP SCH 24°50'50" SKO 09°50'50" A | URA 135 ORC WID 25°08'13" JUN 10°08'13" A*(6/6) | ORC 45 EL6 JUN 10°08'24" WAA 25°08'24" T* -11 | MAR 90 JUN WAA 22°51'31" STE 22°51'30" A | SED 144 APO STI 26°07'11" STE 02°07'11" A* | MER 30 VEN SCH 28°34'24" SKO 28°34'24" T K -2 |
| 06:45 | 14:54 | 05:48 | 09:46 | 02:59 | 12:05 | 07:39 | 02:56 | 07:24 | |
| VEN 45 GSZ SKO 17°18'10" WAA 02°18'09" H +2 | VEN 90 KN1 SKO 18°59'07" LÖW 18°59'07" A K | MER 120 ERI SCH 02°18'10" WID 22°57'44" H +1 | SON 60 GSZ SCH 02°18'10" WAA 02°18'11" H +3 | VEN 72 ORC SKO 22°07'50" JUN 10°07'49" A | JUP 60 ORC SKO 10°08'15" JUN 10°08'15" A* | PLU 72 VES STE 17°42'08" SKO 05°42'08" A* | MAR 180 ERI WAA 22°55'33" WID 22°55'33" A | CER 135 APO STE 02°08'00" STE 02°08'00" H* +5 | MAR 150 CHI WAA 24°19'43" SKO 28°54'31" FIS 24°19'43" A |
| 11:30 | 22:28 | 08:16 | 14:55 | 03:25 | 13:42 | 11:49 | 04:46 | 11:12 | |
| VEN 60 PLU SKO 17°33'05" STE 17°33'06" T K --- | JUP 135 CHI SKO 09°23'20" FIS 24°23'20" A* | SON 144 URA SCH 01°13'43" WID 25°13'42" T -3 | MER 90 CHI SCH 24°22'16" FIS 24°22'15" A K | VES 30 FY9 SKO 04°35'27" WAA 04°35'27" A* | MER 150 SED SCH 26°08'48" STI 26°08'47" A | VEN 150 URA SKO 25°06'23" WID 25°06'23" A | JUN 90 ERI STE 22°55'30" WID 22°55'31" T* -5 | VEN 30 SAT SKO 27°35'16" SCH 27°35'16" A W | VEN 144 ERI SKO 28°54'31" WID 22°54'32" T -2 |
| 17:42 | 09:11 | 17:38 | 08:10 | 14:55 | 12:38 | 05:20 | 22:48 | 19:47 | |
| SON 30 QUA SKO 29°36'16" SCH 29°36'16" A | VEN 30 MAR SKO 19°56'33" WAA 19°56'33" H --- | SON 45 PLU SCH 02°38'03" STE 17°38'03" T --- | JUP 72 JUN STE 21°53'39" H* +5 | URA 180 EL6 WID 25°07'52" WAA 25°07'52" H?*(5,1,5) +9/0 | VEN 30 EL6 SKO 25°08'57" WAA 25°08'56" A | SON 30 VES SKO 06°09'47" SKO 06°09'48" A | SON 135 ERI SCH 07°54'46" WID 22°54'46" T -3 | CER 45 GSZ LÖW 17°18'13" WAA 02°18'14" H* +5 | |
| 22:08 | 13:58 | 18:37 | 09:26 | 16:33 | 15:08 | 07:00 | 20:06 | 23:03 | |
| MAR 60 KN1 WAA 19°01'21" LÖW 19°01'21" Tf -10 | VAR 150 APO LÖW 01°29'44" STE 01°29'44" A* | VEN 60 JUN SKO 21°41'33" STE 21°41'33" H W +2 | MER 60 EL6 SCH 25°06'24" WAA 25°06'24" A | SON 60 FY9 SCH 04°36'43" WAA 04°36'42" H +3 | MER 0 GaZ SCH 26°59'06" SCH 26°59'06" H +2 | MER 0 SAT SCH 27°27'19" SCH 27°27'19" A K? | GSZ 90 APO WAA 02°18'14" STE 02°18'14" H* +11 | SON 45 JUN SCH 08°56'11" STE 23°56'10" H +3 | |
| 14:41 | 18:04 | 10:57 | 15:54 | 21:23 | 19:41 | 07:20 | 22:15 | 23:15 | |
| SON 30 APO SCH 01°29'56" STE 01°29'56" T -6 | SON 120 VAR SCH 01°29'43" LÖW 01°29'43" A | MER 120 URA SCH 25°09'54" WID 25°09'54" T K? -1 | SON 144 PAL SCH 03°34'22" WID 27°34'22" A | SAT 120 PAL SCH 27°18'10" WID 27°18'10" A* | VEN 180 SED SCH 26°07'43" STI 26°07'43" A | PAL 120 GaZ WID 26°59'06" SCH 26°59'06" H* +5 | VEN 150 PAL SKO 26°54'35" WID 26°54'35" A | VEN 150 PAL SKO 26°59'05" SCH 26°59'06" T -2 | |
| 17:10 | 18:30 | 19:09 | 17:10 | 22:15 | 23:41 | 23:41 | 23:41 | 23:41 | |
| MAR 144 SED WAA 20°10'32" STI 26°10'32" H +4 | VEN 150 ERI SKO 22°56'35" WID 22°56'35" H +2 | MER 144 VAR SCH 25°28'34" LÖW 01°28'34" A | VEN 150 ERI SKO 22°56'35" WID 22°56'35" H +2 | VEN 150 PAL SKO 26°54'35" WID 26°54'35" A | VEN 150 PAL SKO 26°59'05" SCH 26°59'06" T -2 | VEN 150 PAL SKO 26°59'05" SCH 26°59'06" T -2 | VEN 150 PAL SKO 26°59'05" SCH 26°59'06" T -2 | VEN 150 PAL SKO 26°59'05" SCH 26°59'06" T -2 | |

November 2017: Fehlprognosen

| Datum | Vorzeichen Symbol | Analyse |
|-------|----------------------|---|
| 4. | +7 3-5 hr | Tief über Nordwestfrankreich. Am Vortag um 19:24 UTC wurde Sonne 120° Neptun exakt. Ein Aspekt, der in der Tabelle mit einem W für Wärme gekennzeichnet ist, und tatsächlich trat eine Zufuhr warmer Luftmassen ein. Es war der Tag mit der höchsten Tagesmitteltemperatur nicht nur innerhalb der ersten Monatsdekade, sondern auch des ganzen Monats. (Möglicherweise stand dieser Sonne-Neptun-Aspekt auch in einer strukturell intensivierenden Verbindung mit Neptun 72° Quaoar T?*, der im unkorrigierten Index 3 nur im alternativen Index angerechnet und im korrigierten Index 3 gar nicht angerechnet wurde.) |
| 5. | -9 5 hr | Tief Jürgen über Nordmeer und Südsandinavien. Im Laufe des Vormittags setzte sich das Azorenhoch durch. Prognose mit korr. Premeteo-Index richtig. Witterung entsprach dem unkorrigierten Index. Flacher Index. |
| 6. | -11 5 r | Azorenhoch. Prognose mit korr. Premeteo-Index richtig. Witterung entsprach dem unkorrigierten Index. |
| 10. | -1 5 hr | Azorenhoch. Prognose mit korr. Premeteo-Index richtig. Witterung entsprach dem unkorrigierten Index. Flacher Index. |
| 11. | -11 5 r | Azorenhoch. Witterung entsprach dem Premeteo-Index. |
| 13. | -32 5 r | Hoch Yaprak über Ostatlantik. Der Premeteo-Index erreichte erst am 13. November seinen tiefsten Wert, und auf 500 hpa verlagerte sich der Kern des Höhentrogs tatsächlich nach Deutschland und sein Kältezentrum lag um 0 UTC direkt über Südwestdeutschland. In der Bodenatmosphäre dehnte sich mit der eingeflossenen Kaltluft dagegen Hoch Yaprak über dem Ostatlantik im Laufe des Tages bis über ganz Deutschland aus. Witterung entsprach dem Premeteo-Index. |
| 16. | -10 3-5 r | Hoch Yaprak I und II über Ostalpen und Ukraine. Da vom 15. bis 17. jeden Tag ein Hf-Aspekt auftrat und auch der alternative Premeteo-Index im positiven Bereich verlief, war an diesem Tag nur eine schwache Luftdruckabsenkung zu erkennen und der Wechsel der südwestdeutschen Region in den Isobarenbereich zu Tief Zoe über Irland am 17. November. Einzelner negativer Tag, alternativer Premeteo-Index richtig. |
| 18. | -3 5 hr | Hoch Zoe über Nordwestfrankreich. Flacher Index, dichte Bewölkung und lokal Regen. |
| 20. | -7 5 hr | Hoch Zoe mit Kernen über der Iberischen Halbinsel und Frankreich. Flacher Index, dichte Bewölkung und lokal Regen. |
| 22. | -10 2 f | Hoch Zoe über Ostalpen. Fallender Luftdruck, doch auf 500 hpa hatte sich eine starke antizyklonale Strömung über dem Mittelmeerraum ausgebildet, die einen Vorstoß von Tief Reinhard mit Kern bei Schottland in den südwestdeutschen Raum verhinderte. |
| 24. | +19 5 f | Tief Sebastian über Südwestfrankreich und Tief Reinhard über Nordmeer. Die Sonne hatte am 23. und 24. eine Abfolge der Aspekte: Sonne 144° Uranus T, Sonne 120° Varuna A, Sonne 30° Apogäum T, Sonne 60° GSZ H und Sonne 45° Pluto T. Möglicherweise hat der ranghöchste dieser Aspekte mit dem Galaktischen Zentrum den geringsten Lokalbezug. |
| 25. | +18 5 f | Tief Reinhard über Nordmeer und Wellentief über Süddeutschland. Einziger T-Aspekt war Merkur 120° Uranus T. |
| 29. | +9 | Tief Torsten über Südschweden. Der positive Premeteo-Index geht auf Pallas 120° GaZ H* und Cer 135 Apogäum H* zurück. Parallel gibt es aber eine Reihe von mehreren Sonne- und Venus-T-Aspekten. Einzelner positiver Tag, flacher Index. |

November 2017: Fehlprognosen (**Prognose aktualisiert im Index 3**)

| Datum | Vorzeichen Symbol | Analyse |
|-------|----------------------|---|
| 4. | +19 3-5 f | Tief über Nordwestfrankreich. Am Vortag um 19:24 UTC wurde Sonne 120° Neptun exakt. Ein Aspekt, der in der Tabelle mit einem W für Wärme gekennzeichnet ist, und tatsächlich trat eine Zufuhr warmer Luftmassen ein. Es war der Tag mit der höchsten Tagesmitteltemperatur nicht nur innerhalb der ersten Monatsdekade, sondern auch des ganzen Monats. (Möglicherweise stand dieser Sonne-Neptun-Aspekt auch in einer strukturell intensivierenden Verbindung mit Neptun 72° Quaoar T?*, der im unkorrigierten Index 3 nur im alternativen Index angerechnet und im korrigierten Index 3 gar nicht angerechnet wurde.) |
| 11. | -6 5 hr | Azorenhoch. Witterung entsprach dem Premeteo-Index. Flacher Index. |
| 13. | -27 5 r | Hoch Yaprak über Ostatlantik. Der Premeteo-Index erreichte erst am 13. November seinen tiefsten Wert, und auf 500 hpa verlagerte sich der Kern des Höhentrogs tatsächlich nach Deutschland und sein Kältezentrum lag um 0 UTC direkt über Südwestdeutschland. In der Bodenatmosphäre dehnte sich mit der eingeflossenen Kaltluft dagegen Hoch Yaprak über dem Ostatlantik im Laufe des Tages bis über ganz Deutschland aus. Witterung entsprach dem Premeteo-Index. |
| 16. | -10 3-5 r | Hoch Yaprak I und II über Ostalpen und Ukraine. Da vom 15. bis 17. jeden Tag ein Hf-Aspekt auftrat und auch der alternative Premeteo-Index im positiven Bereich verlief, war an diesem Tag nur eine schwache Luftdruckabsenkung zu erkennen und der Wechsel der südwestdeutschen Region in den Isobarenbereich zu Tief Zoe über Irland am 17. November. Einzelner negativer Tag, alternativer Premeteo-Index richtig. |
| 18. | -3 5 hr | Hoch Zoe über Nordwestfrankreich. Flacher Index, dichte Bewölkung und lokal Regen. |
| 20. | -7 5 hr | Hoch Zoe mit Kernen über der Iberischen Halbinsel und Frankreich. Flacher Index, dichte Bewölkung und lokal Regen. |
| 22. | -10 | Hoch Zoe über Ostalpen. Fallender Luftdruck, doch auf 500 hpa hatte sich eine starke antizyklonale Strömung über dem Mittelmeerraum ausgebildet, die einen Vorstoß von Tief Reinhard mit Kern bei Schottland in den südwestdeutschen Raum verhinderte. |
| 24. | +14 | Tief Sebastian über Südwestfrankreich und Tief Reinhard über Nordmeer. Die Sonne hatte am 23. und 24. eine Abfolge der Aspekte: Sonne 144° Uranus T, Sonne 120° Varuna A, Sonne 30° Apogäum T, Sonne 60° GSZ H und Sonne 45° Pluto T. Möglicherweise hat der ranghöchste dieser Aspekte mit dem Galaktischen Zentrum den geringsten Lokalbezug. |
| 25. | +13 | Tief Reinhard über Nordmeer und Wellentief über Süddeutschland. Einziger T-Aspekt war Merkur 120° Uranus T. |
| 29. | +12 | Tief Torsten über Südschweden. Der positive Premeteo-Index geht auf Pallas 120° GaZ H* und Cer 135 Apogäum H* zurück. Parallel gibt es aber eine Reihe von mehreren Sonne- und Venus-T-Aspekten. Einzelner positiver Tag. |